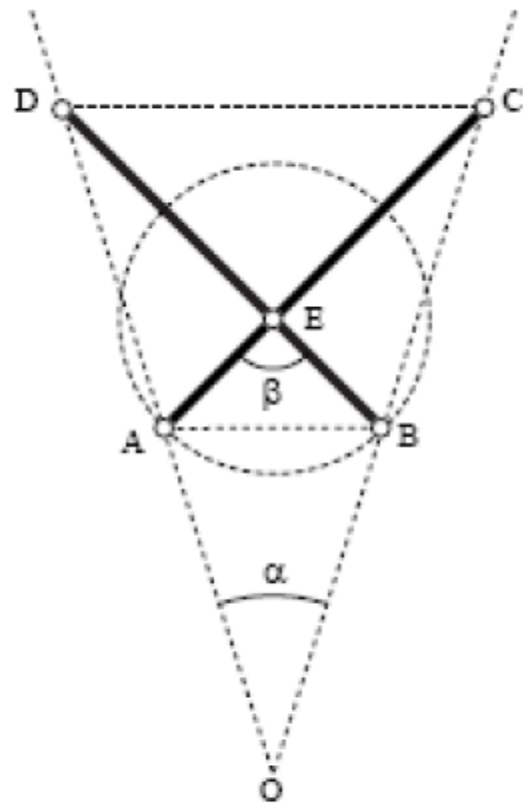
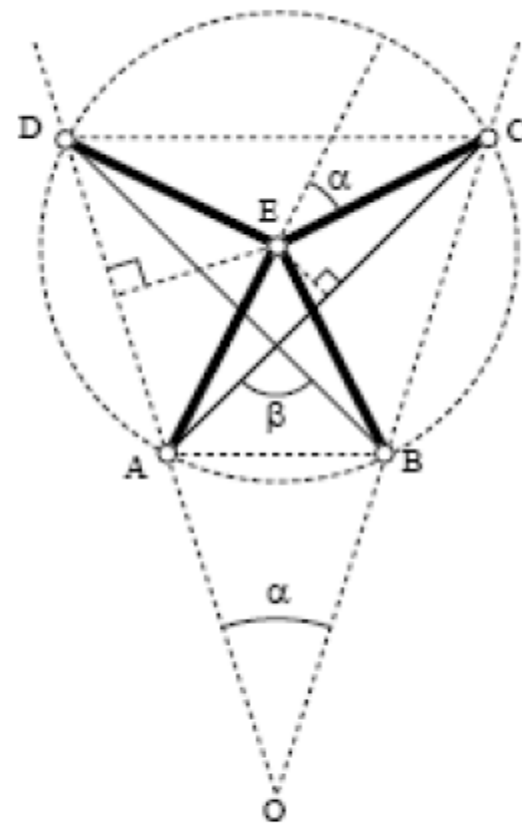


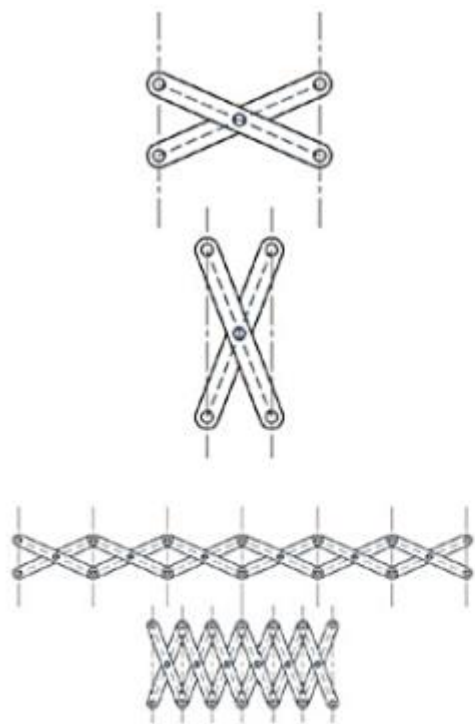
(a)



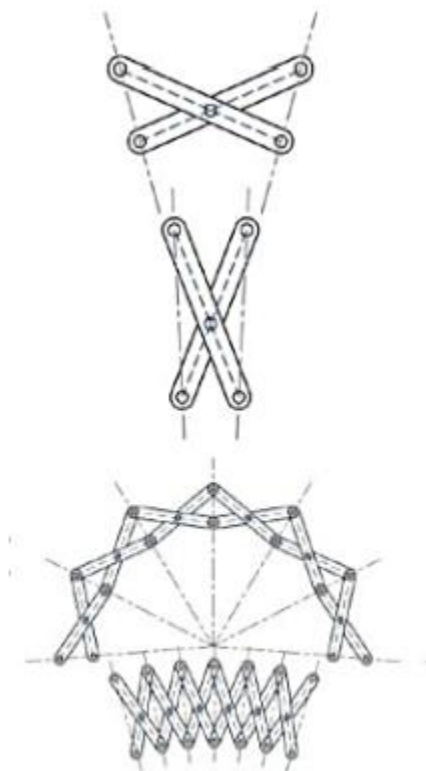
(b)



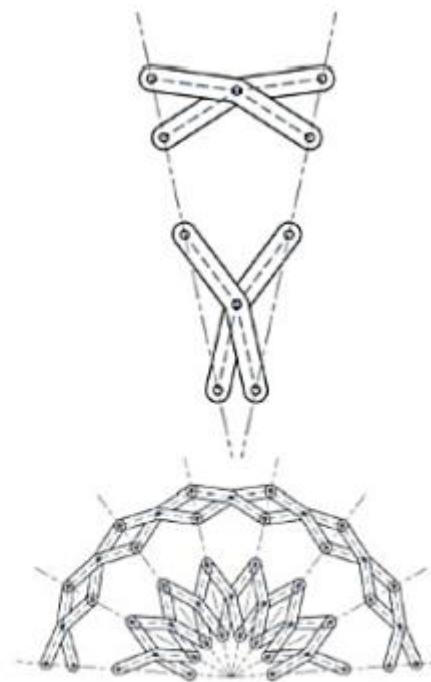
(c)



(a)



(b)



(c)

1. Central Hinge



2. Offset Hinge

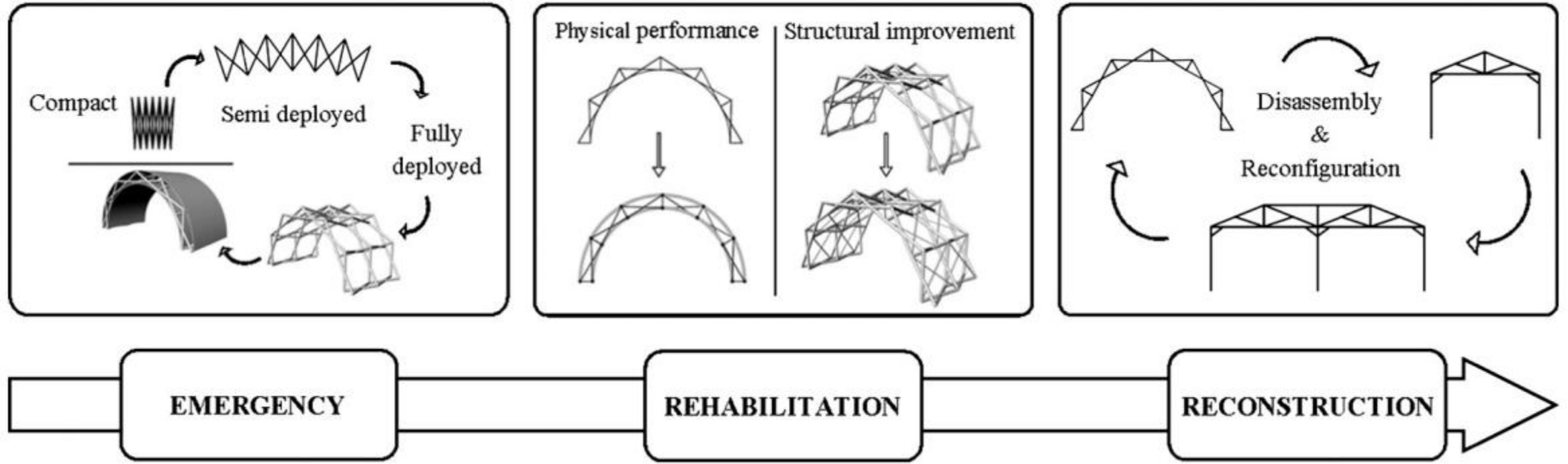


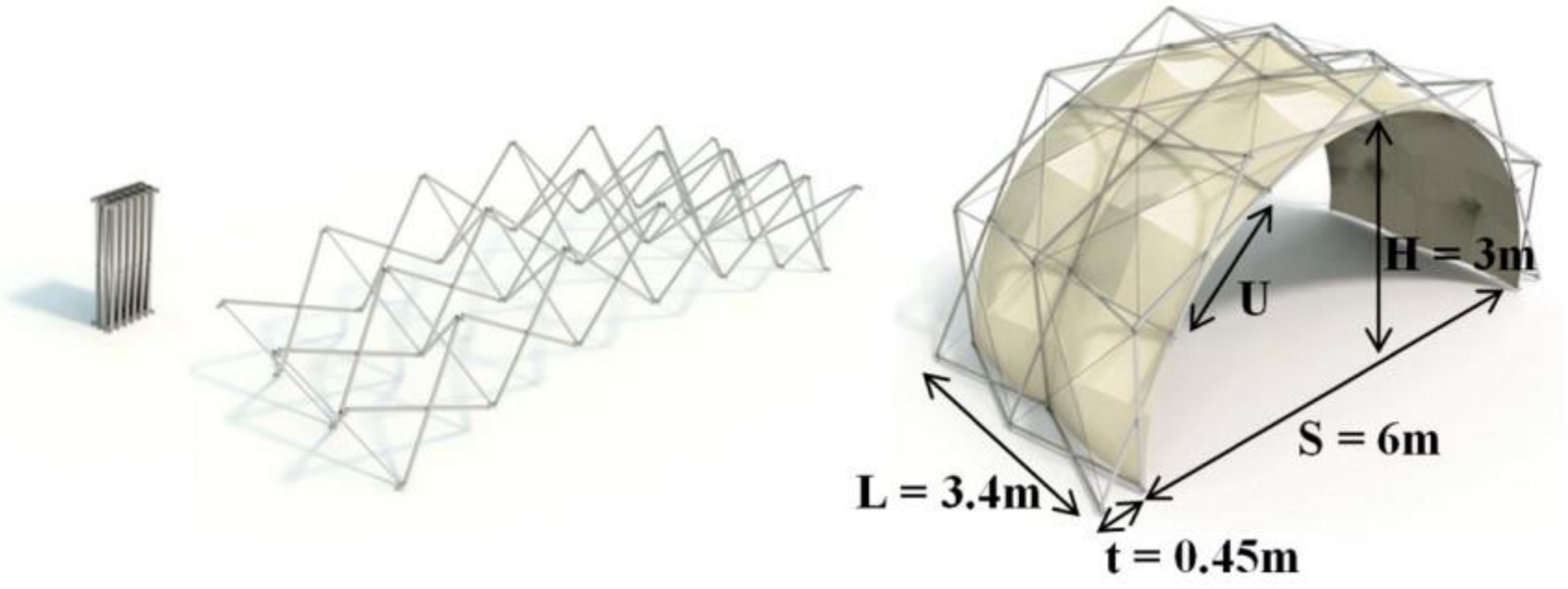
3. Alternating Hinge



4. Sinusoidal Hinge







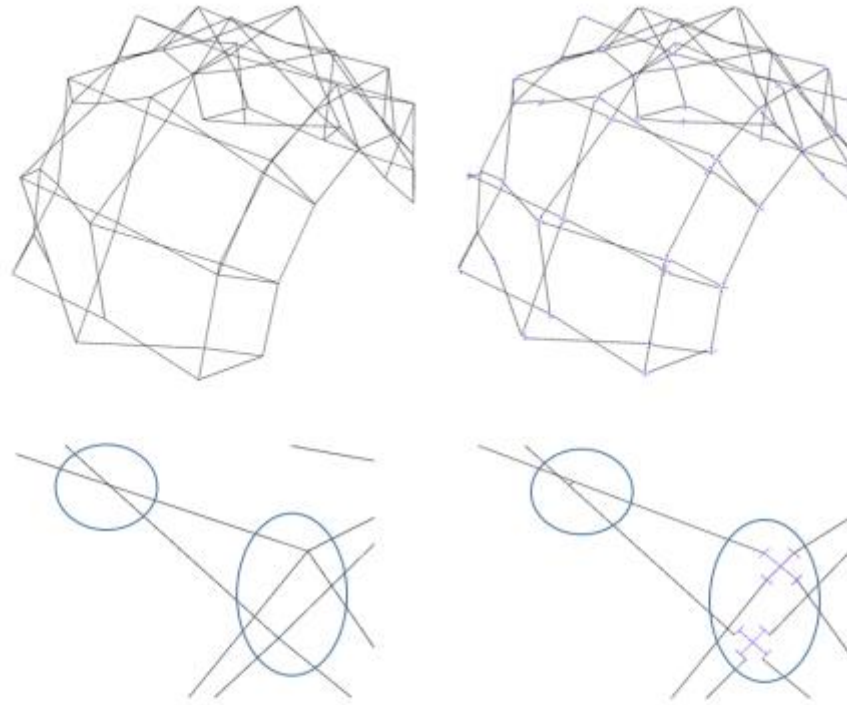
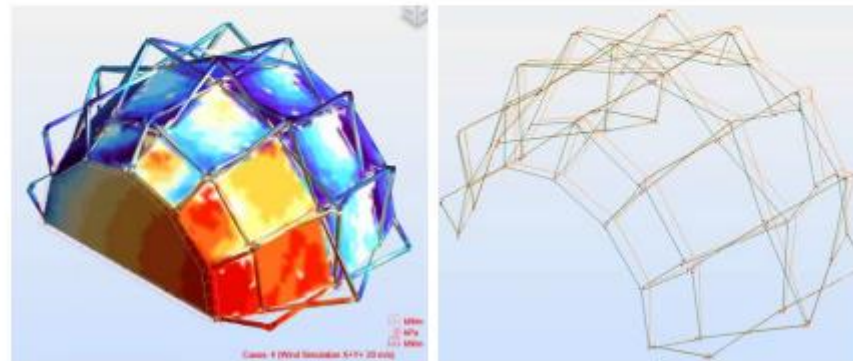
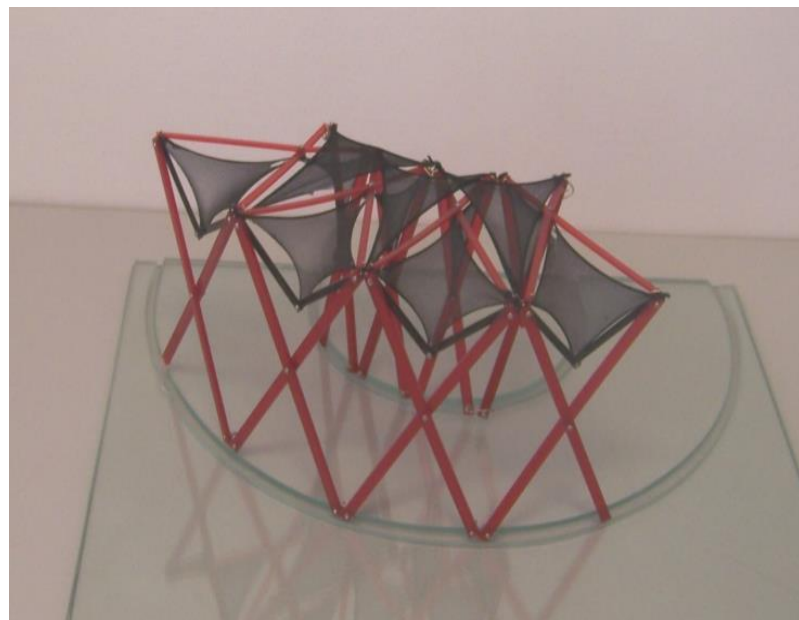
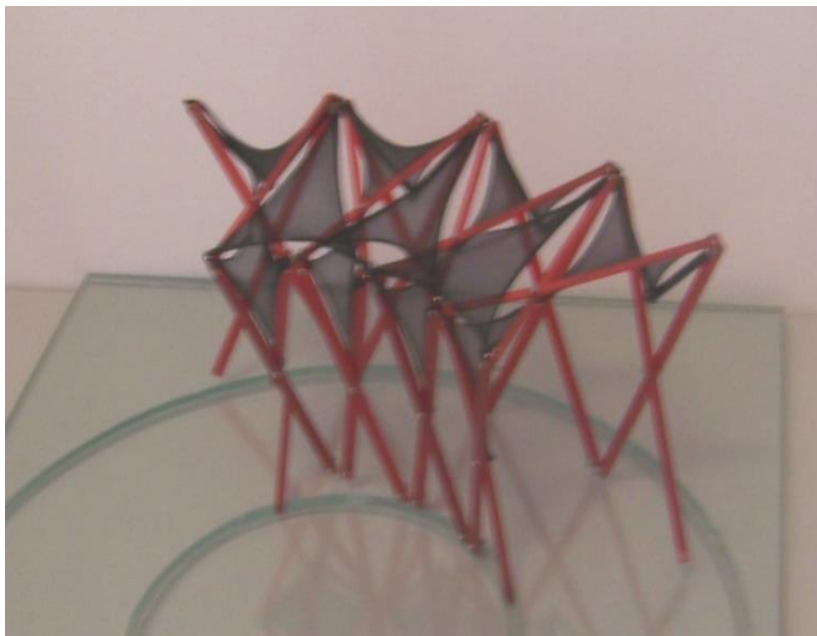
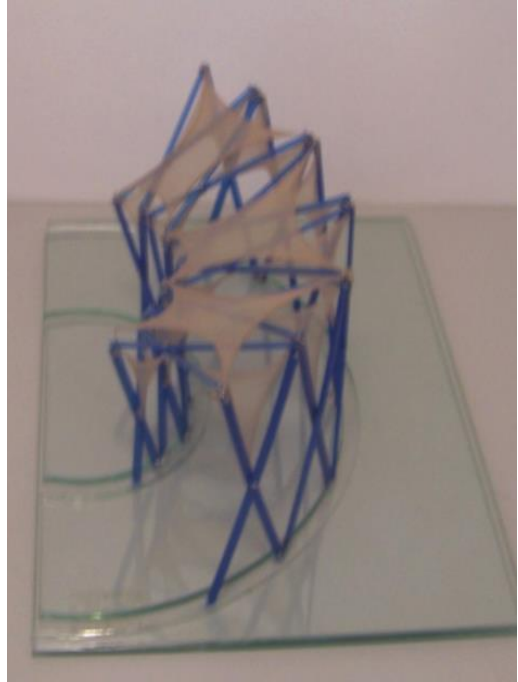
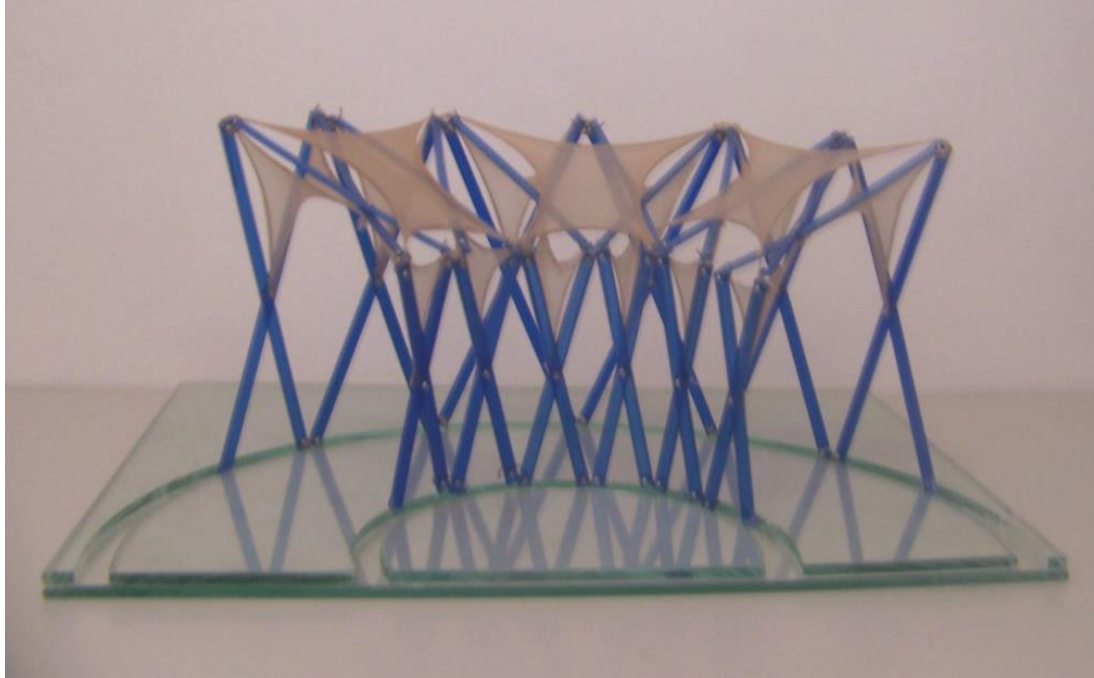
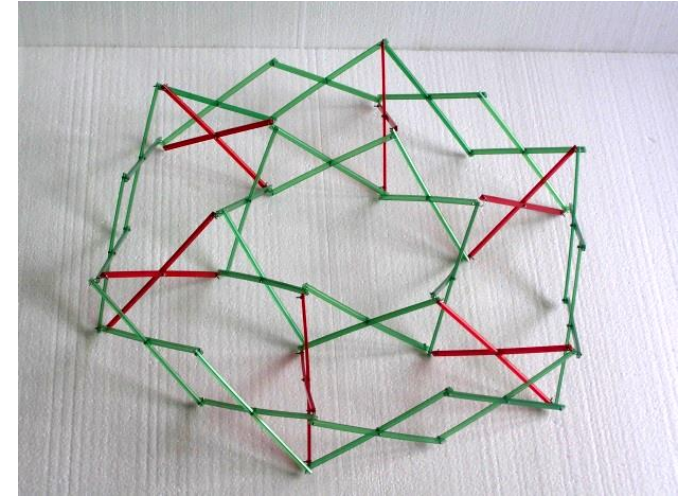
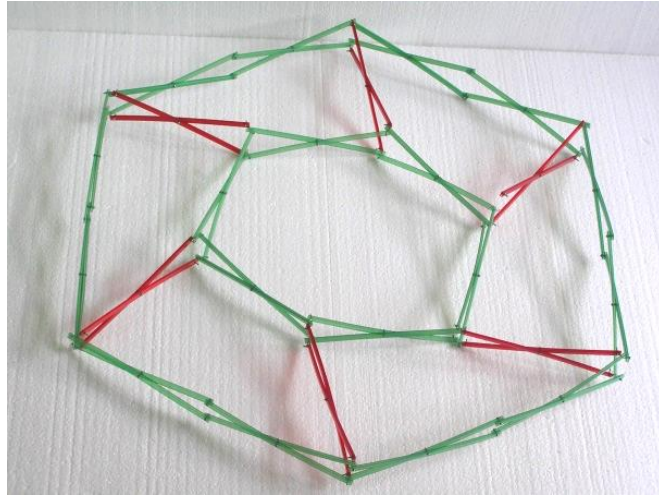
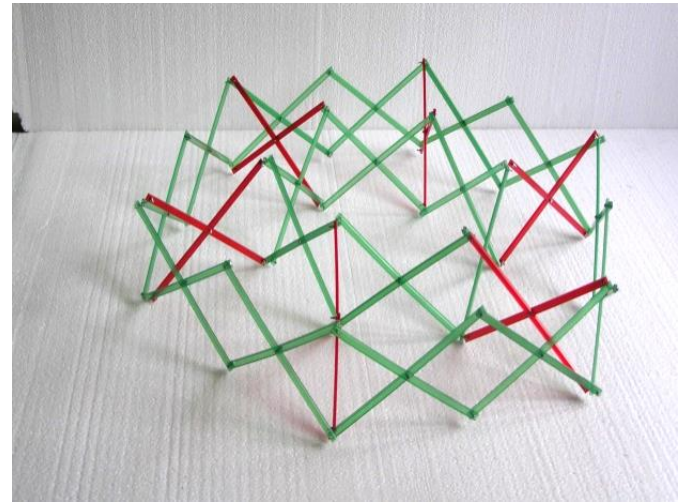
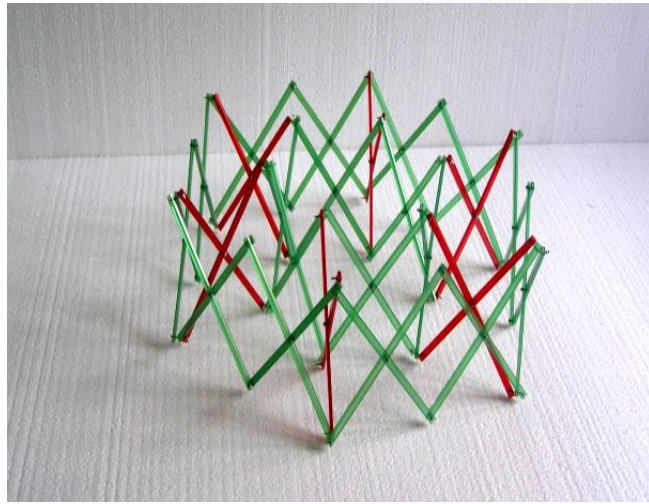


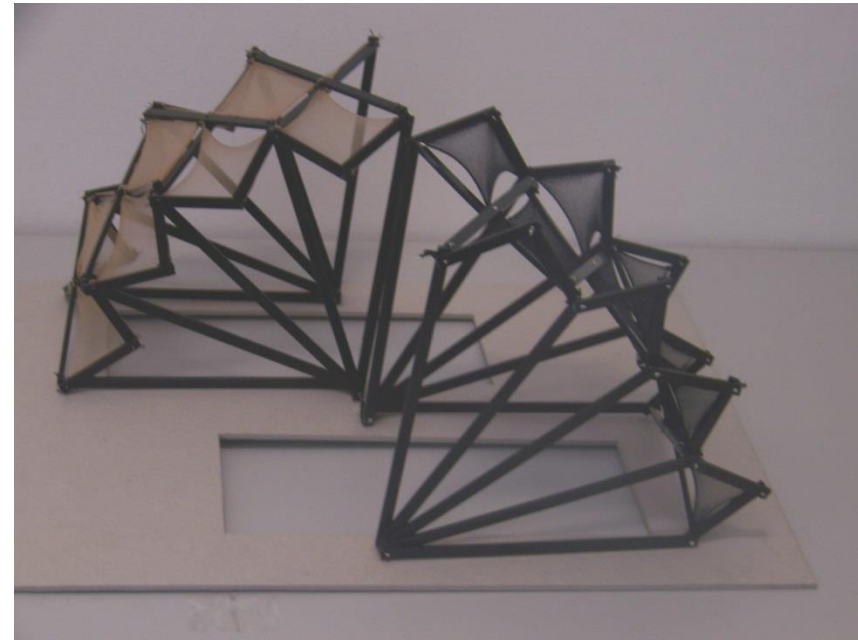
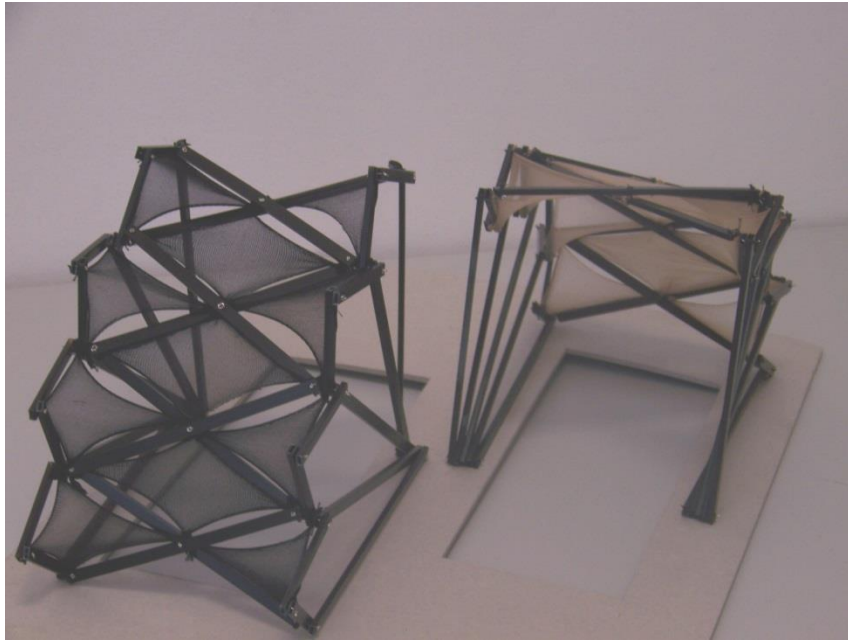
Figure 4. Analysis Model Comparison: Single Node Connections (Left) vs Eccentric Point Connections.

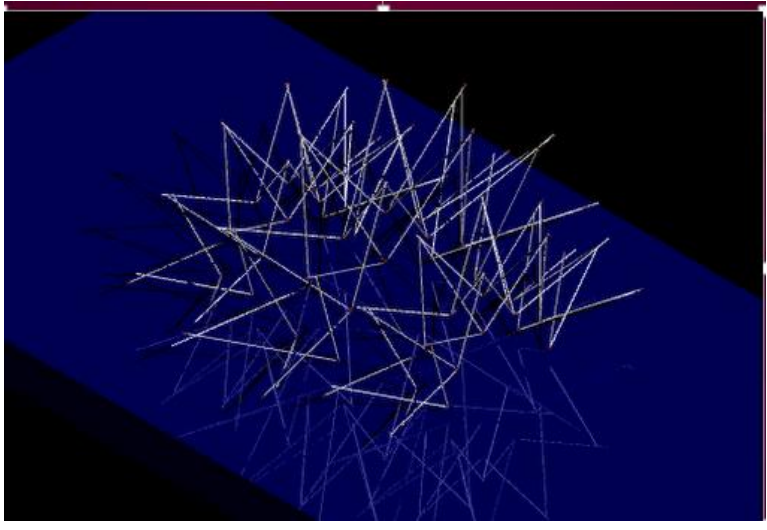
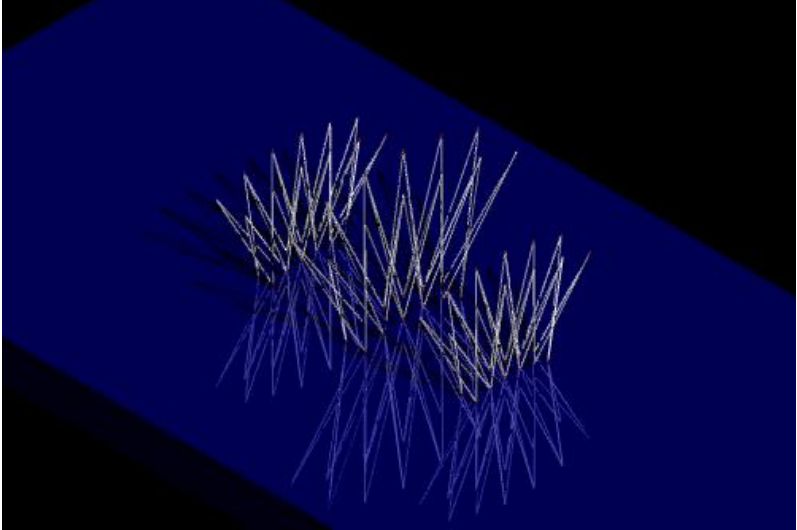
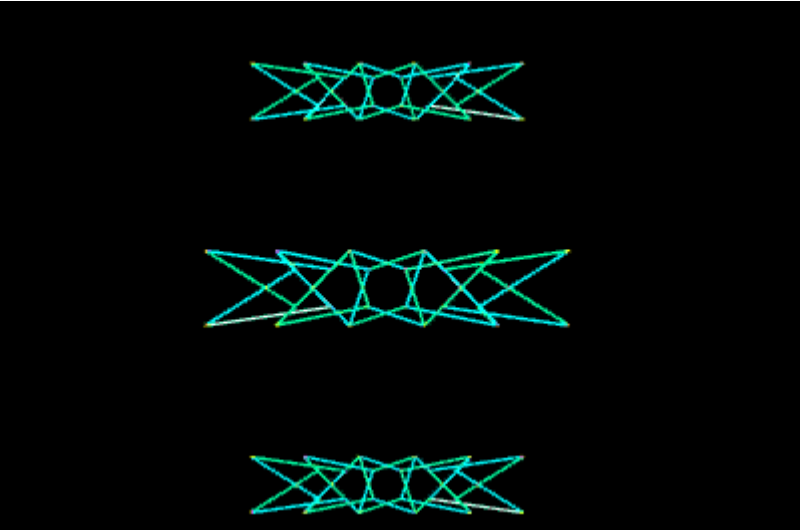


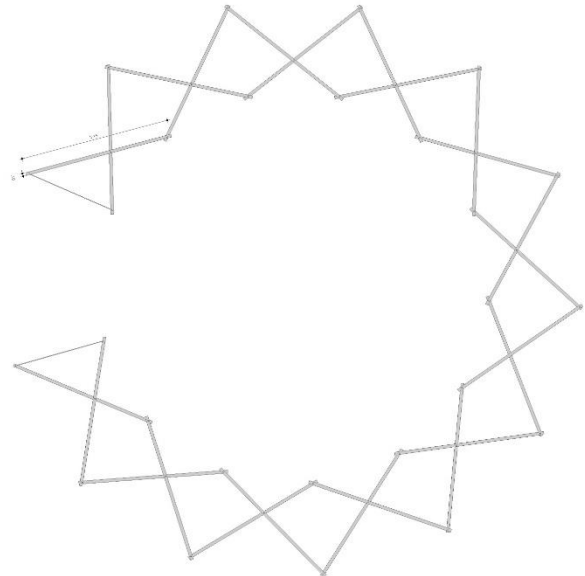




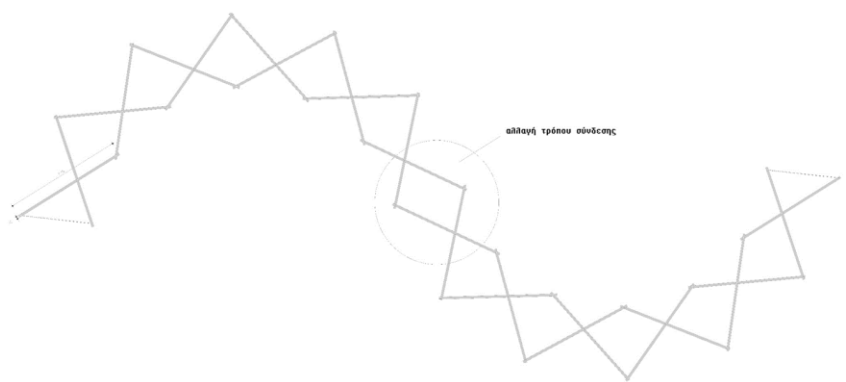
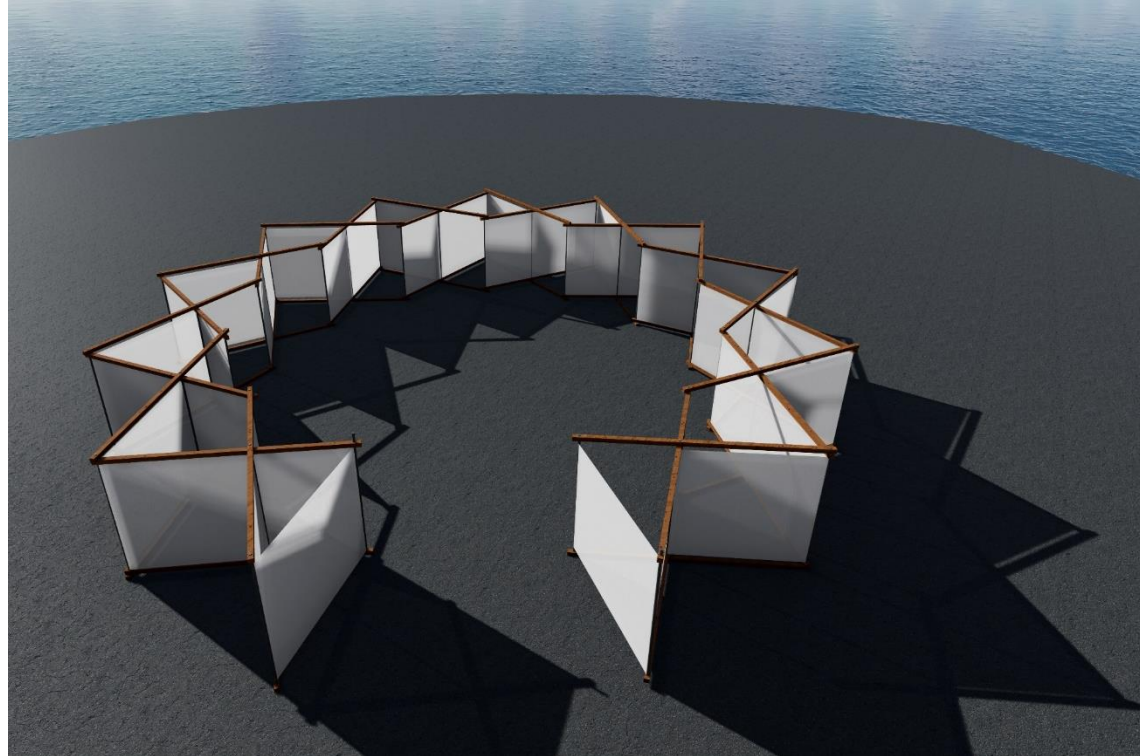






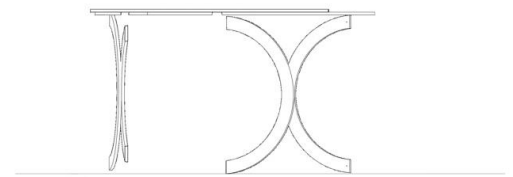


κάτοψη
κλίμακα 1:100

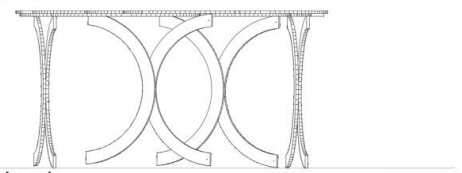


κάτοψη
κλίμακα 1:100

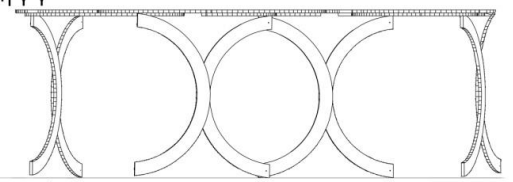




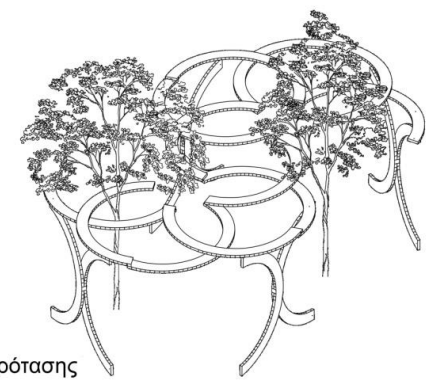
τομή β-β'



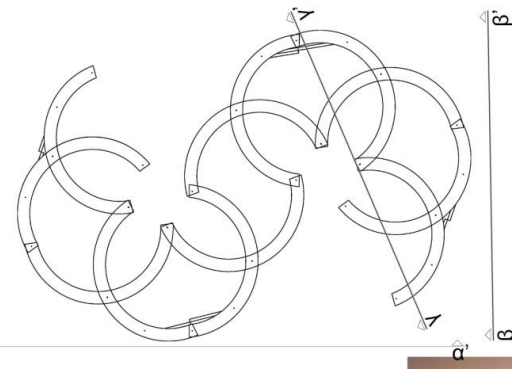
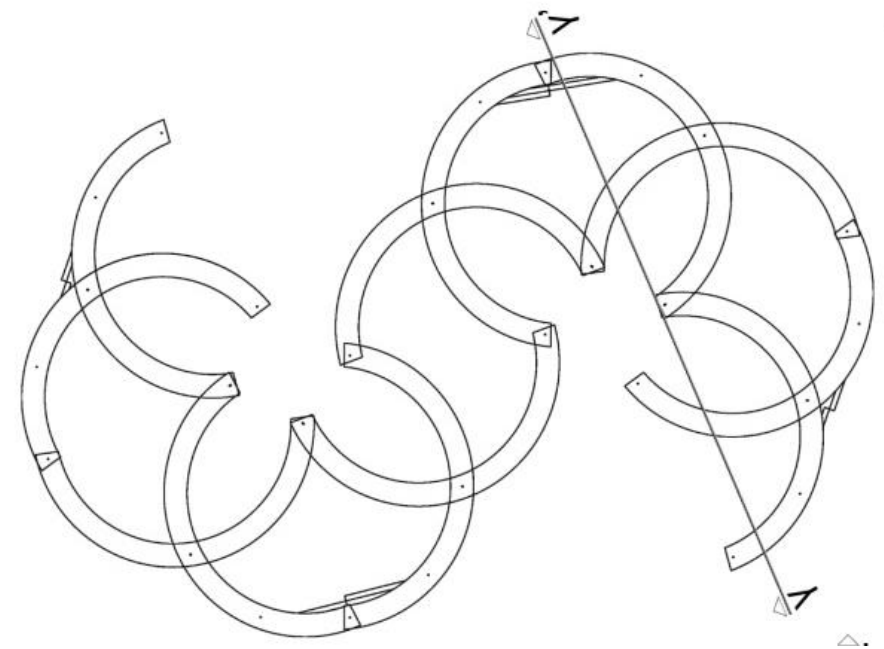
τομή γ-γ'



όψη α-α'

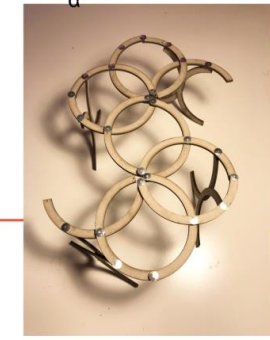


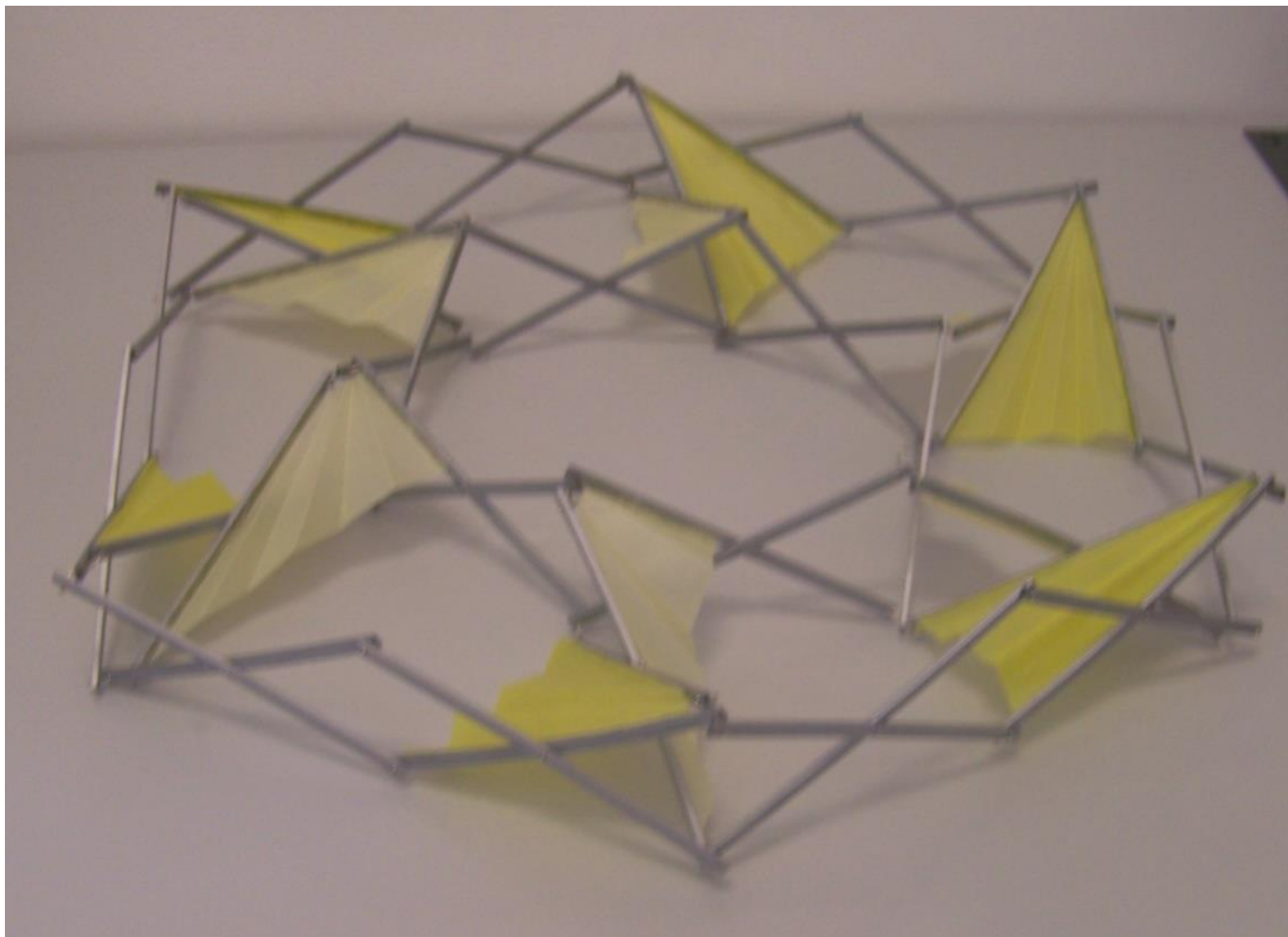
αξονομετρικό πρότασης

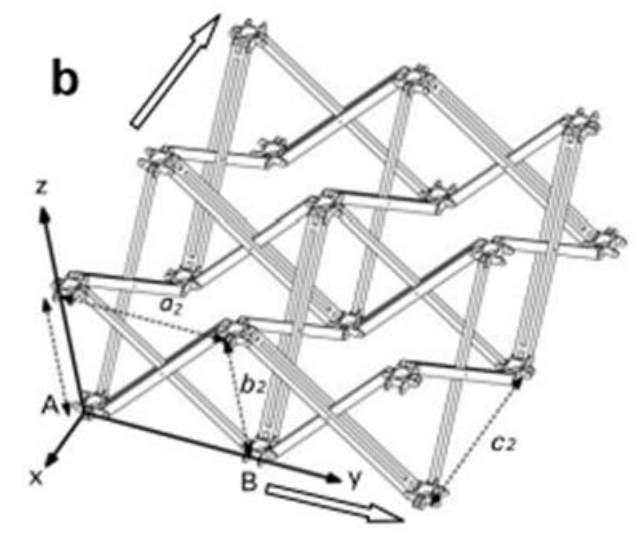
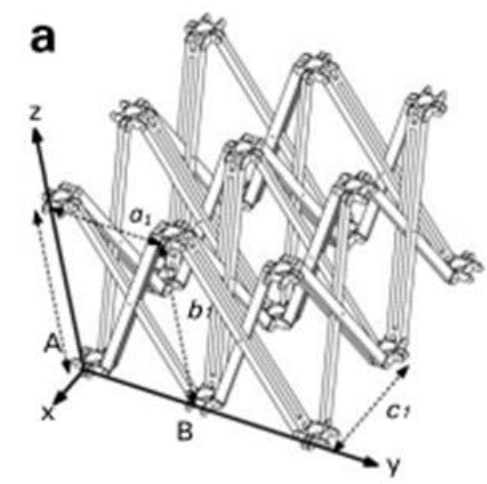
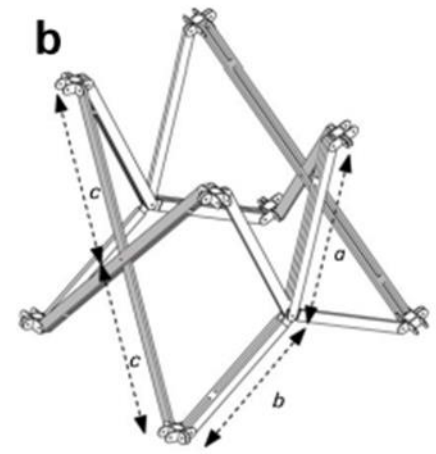
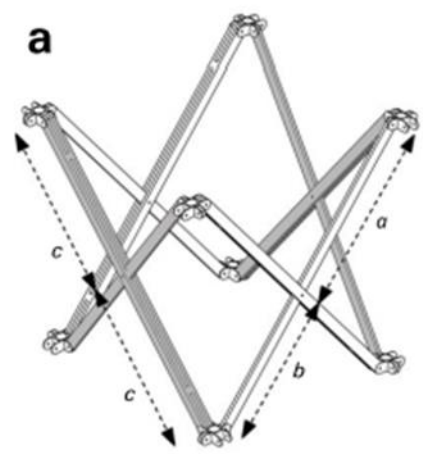


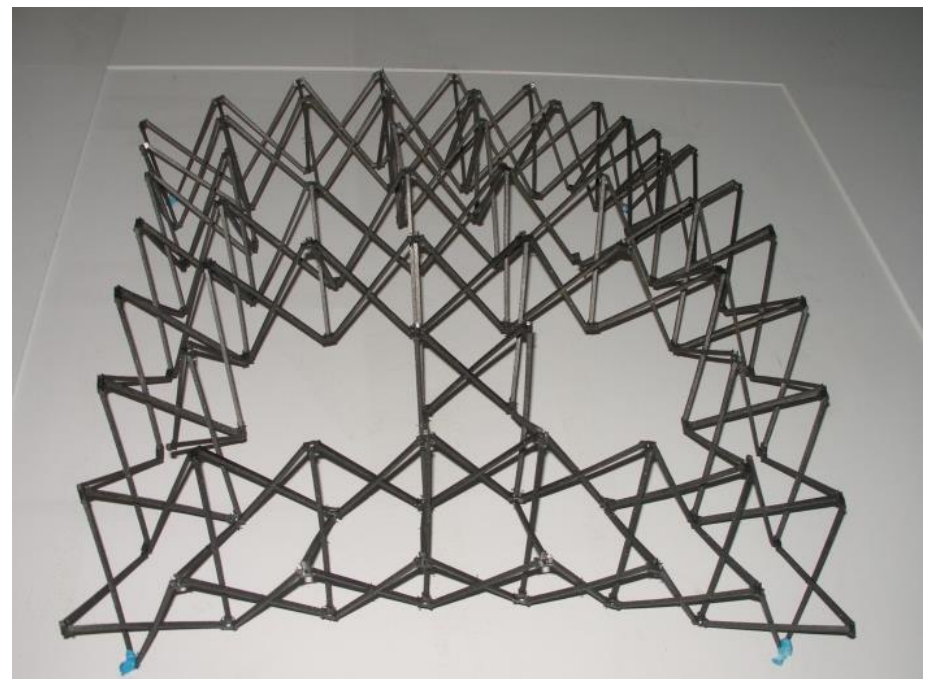
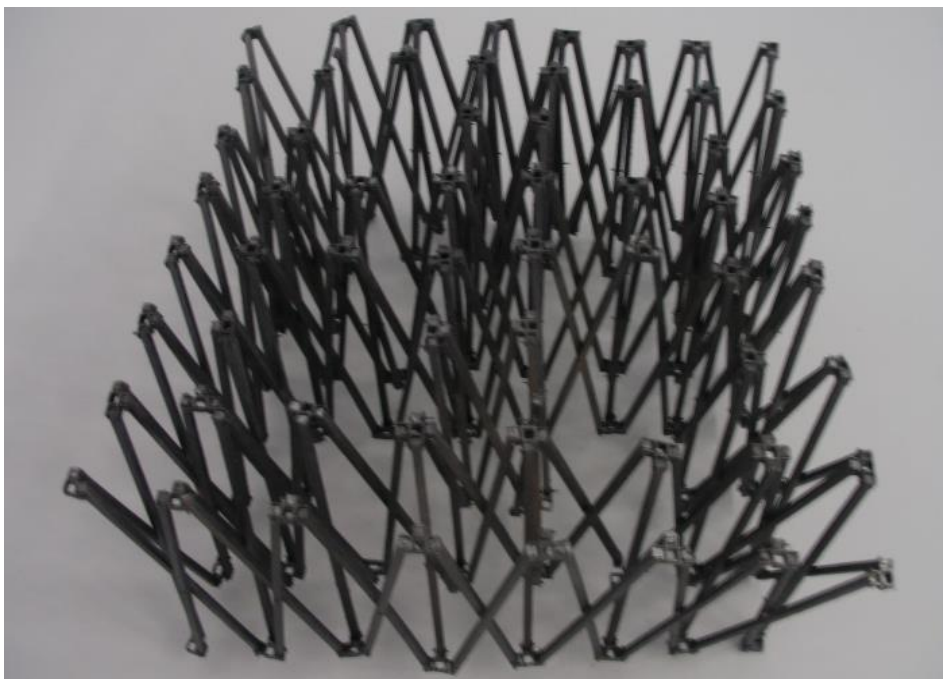
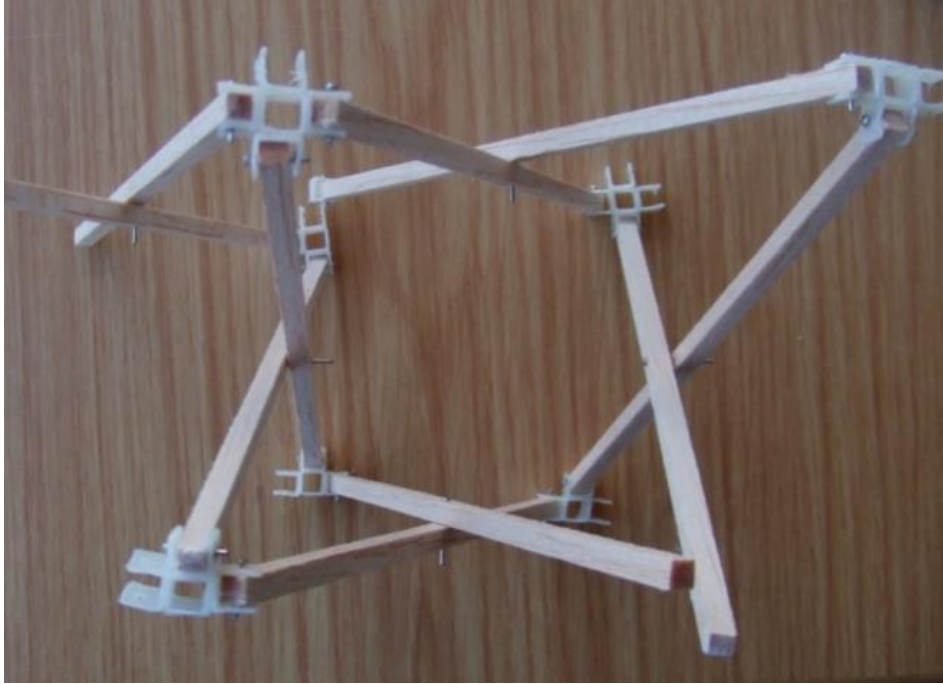
Η κατασκευή αυτή αποτελείται από διαδοχικά ημικύκλια, τα οποία χάρη στα στρεφόμενα σημεία τους δύνανται να δημιουργούν κλειστά ή ανοικτά σχήματα. Έτσι επιτυγχάνεται η προσαρμογή στις υπάρχουσες φυτεύσεις αλλά και η δημιουργία εναλλακτικών κι εναλασσόμενων μορφών

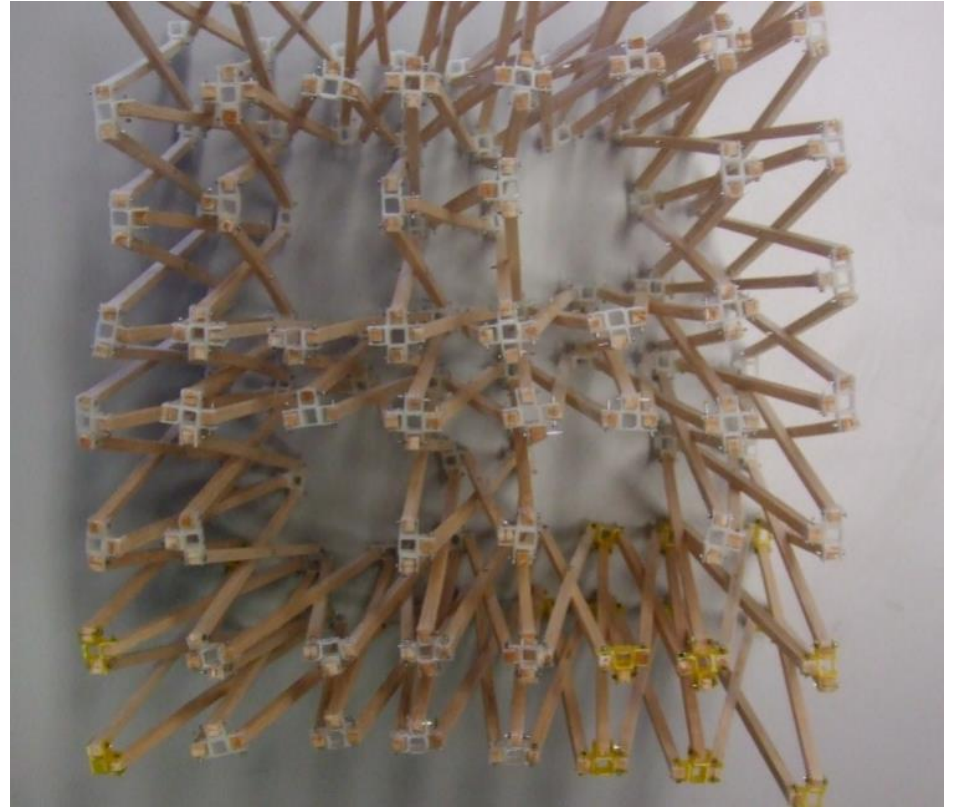
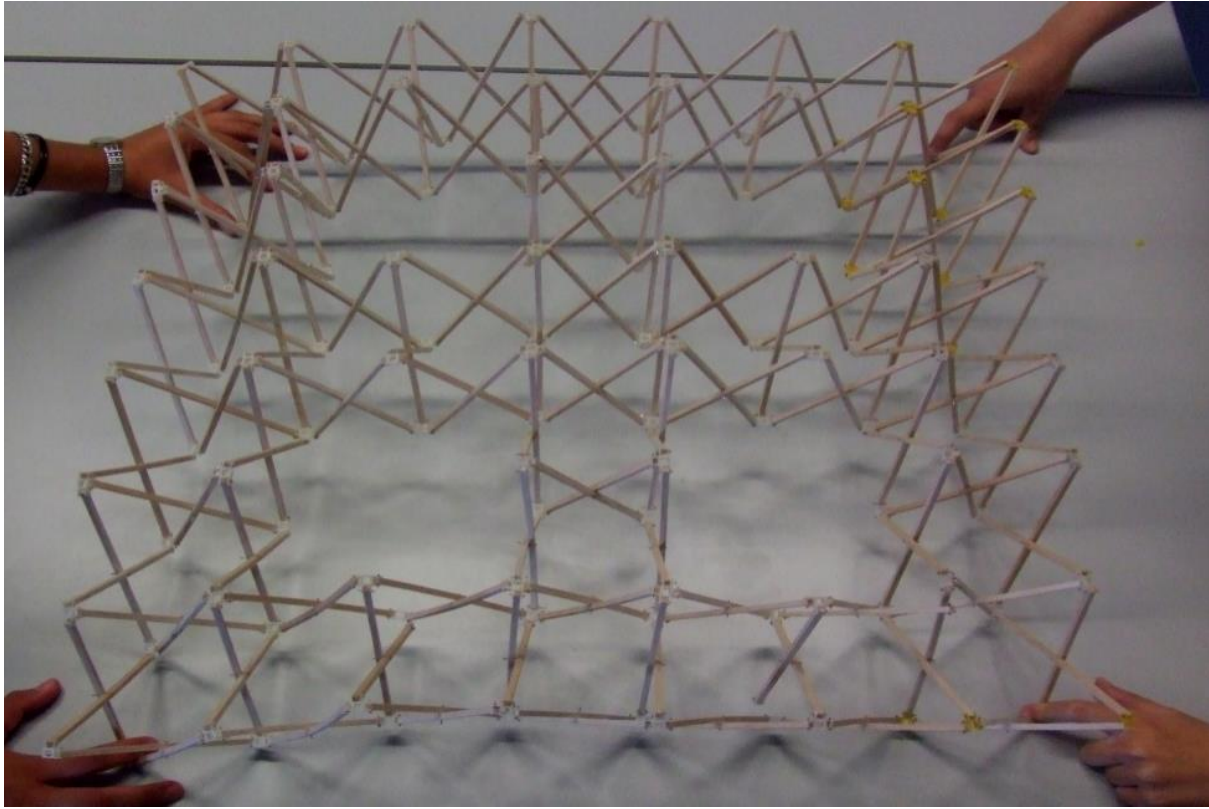
5

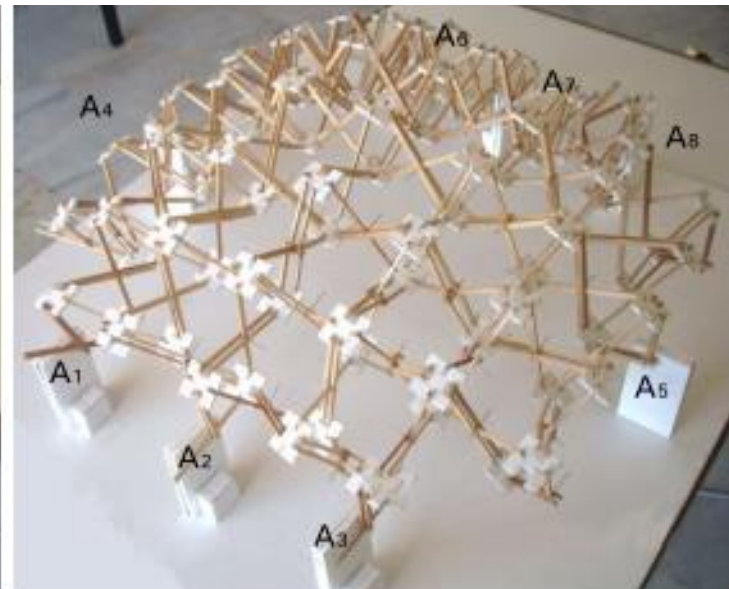
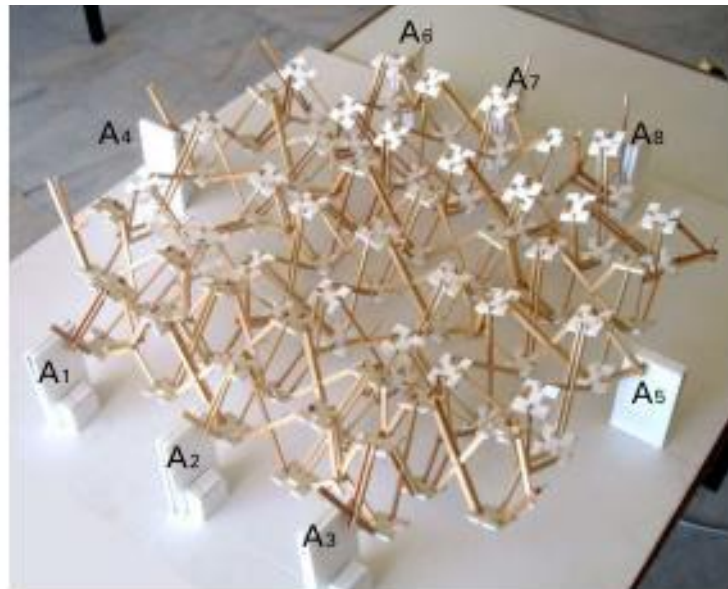
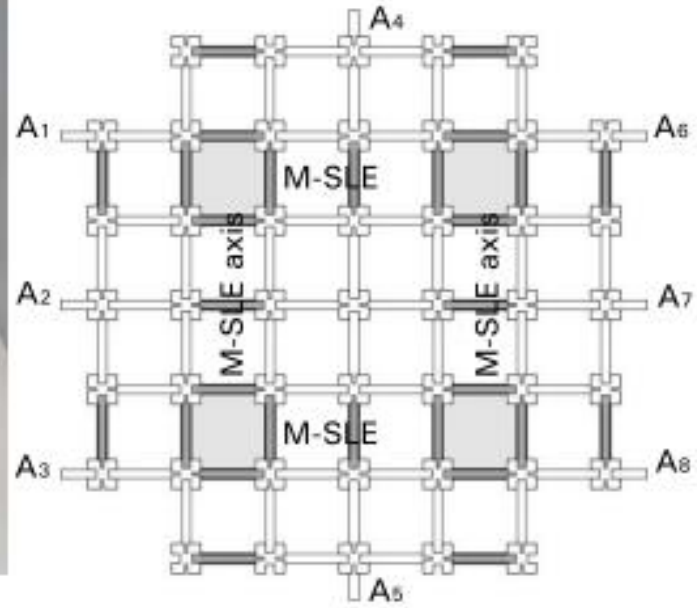
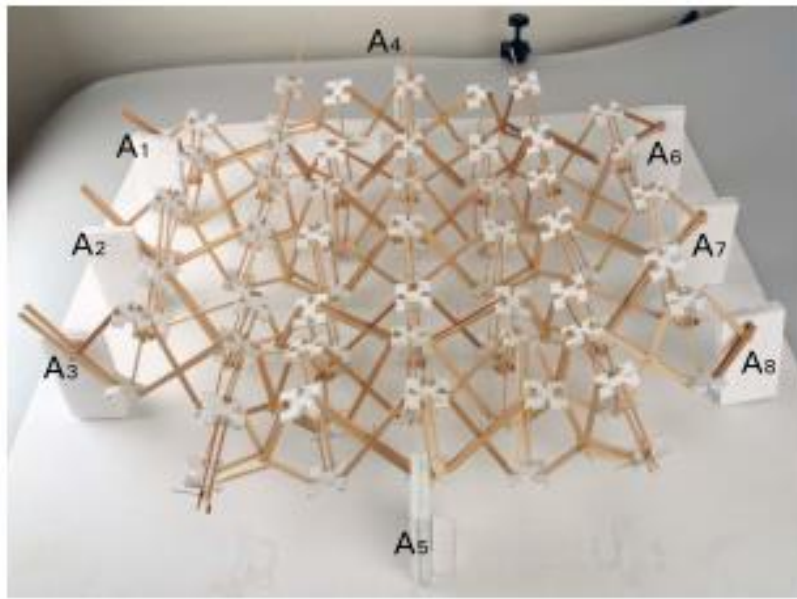


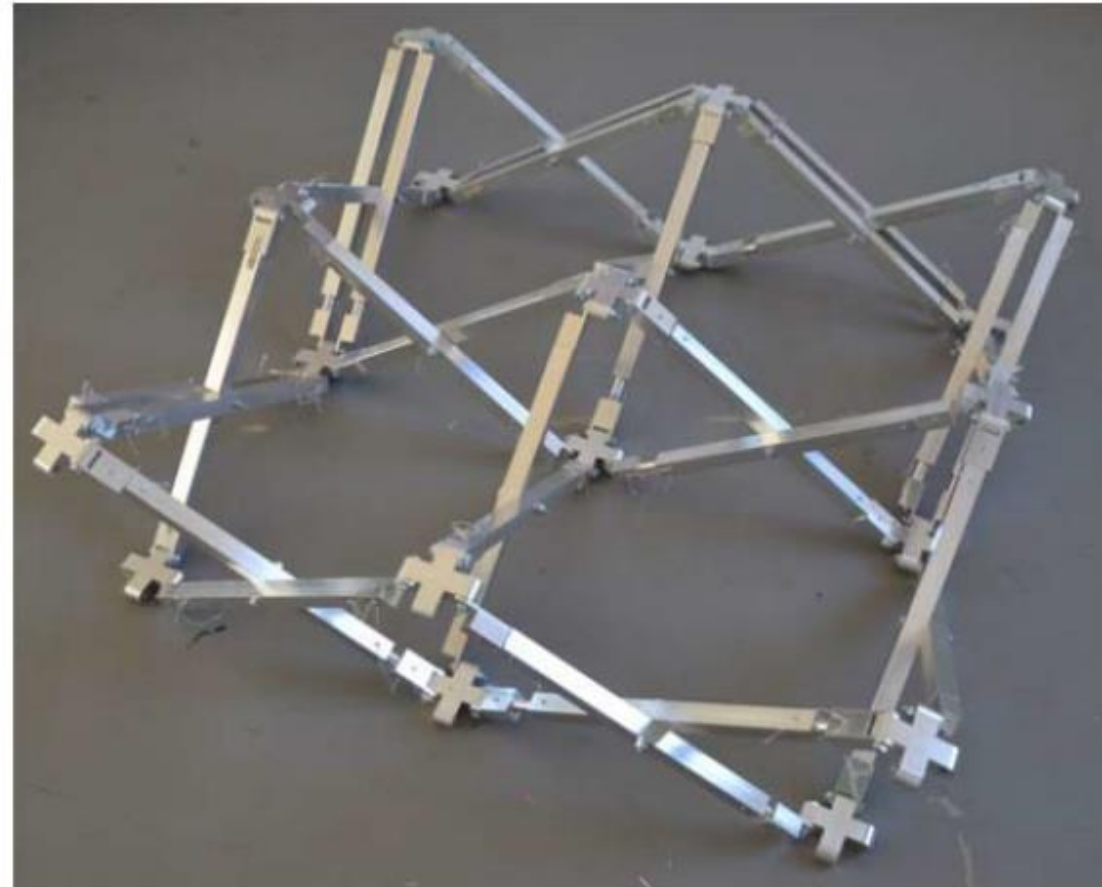
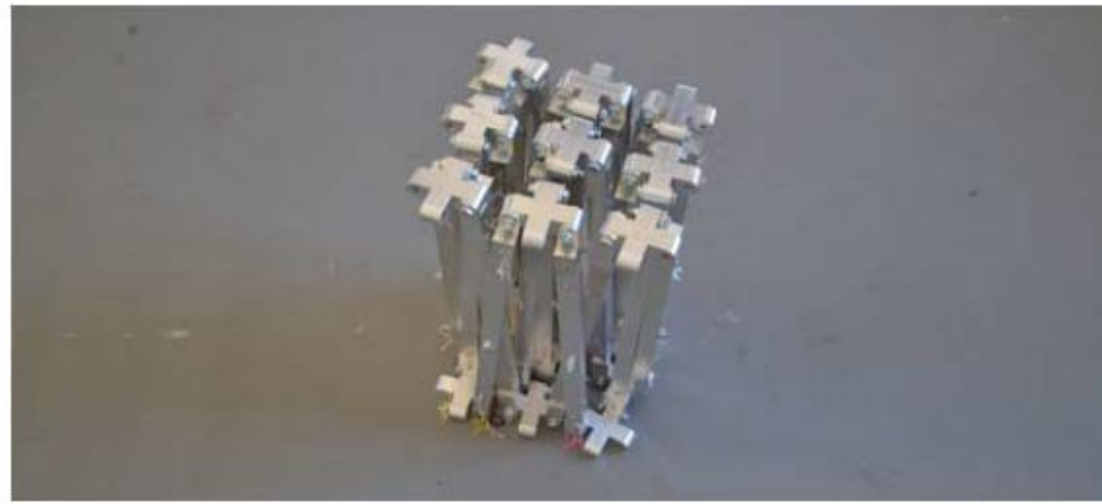


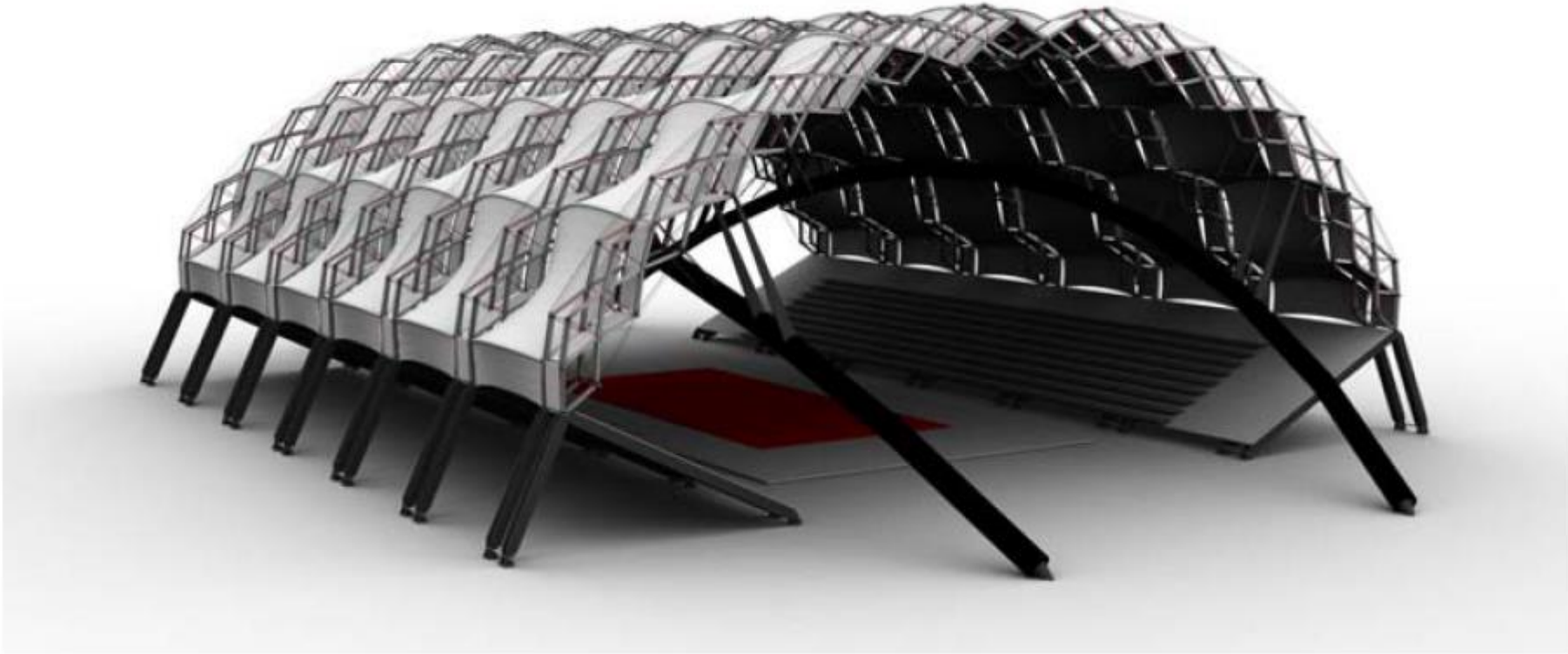


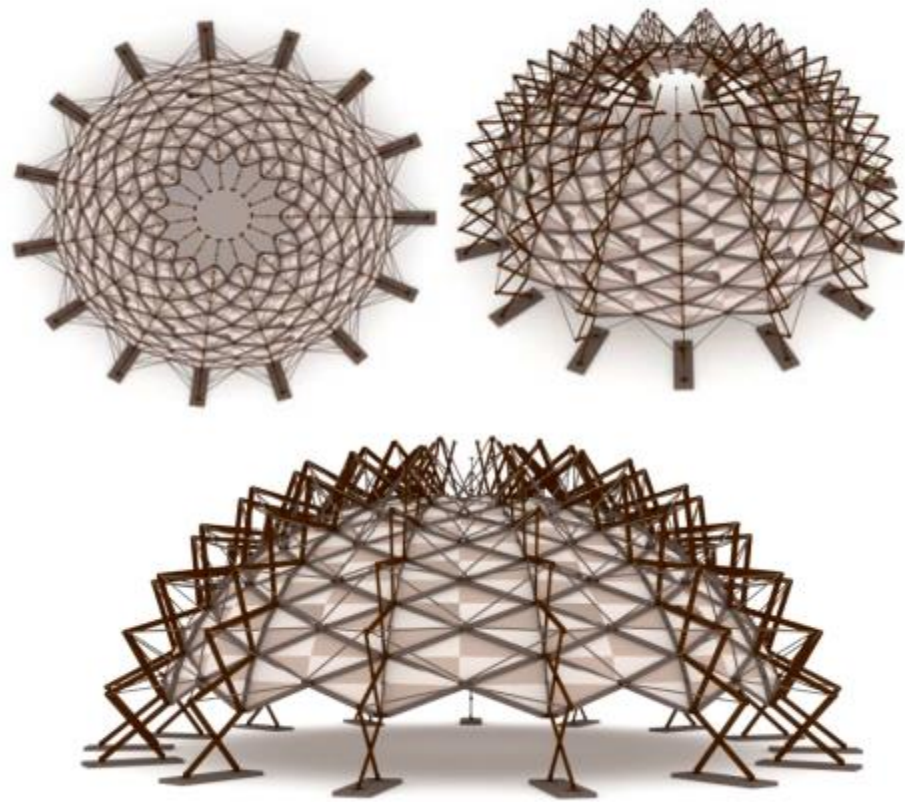






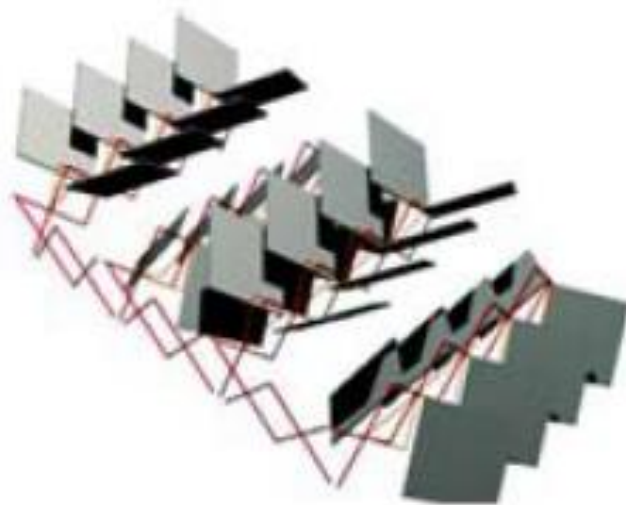








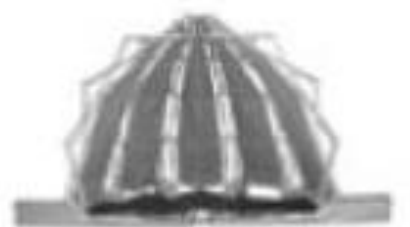
(a)



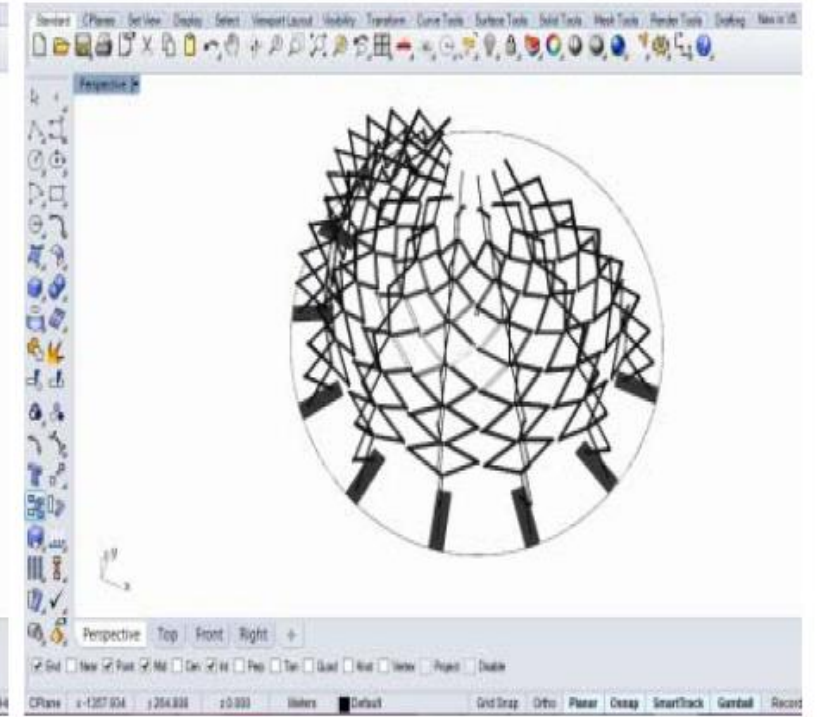
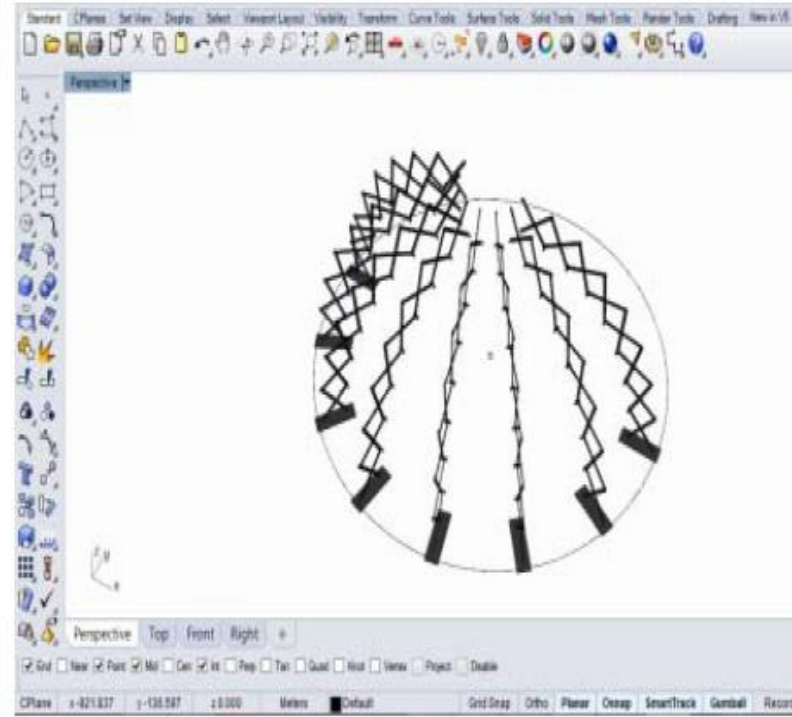
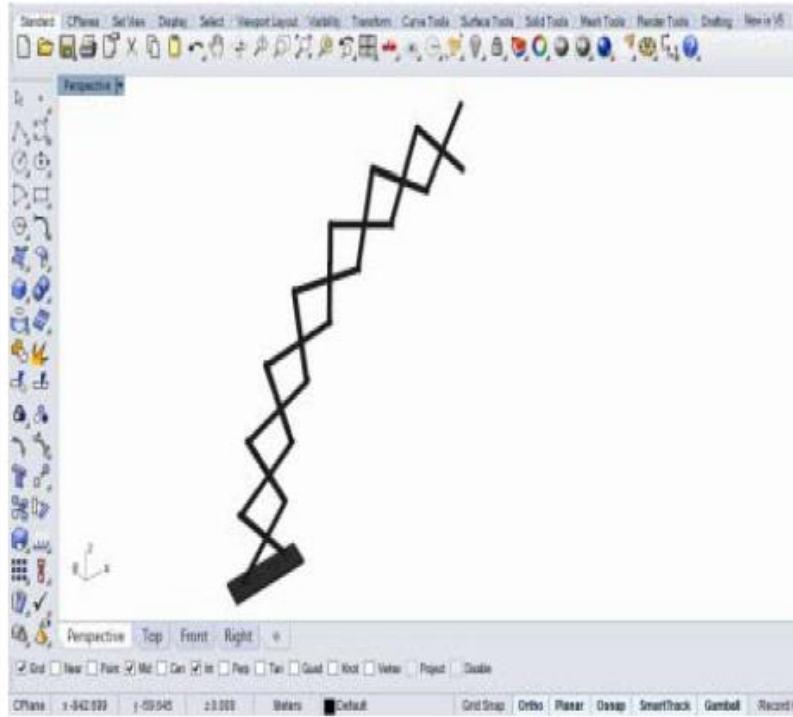
(b)

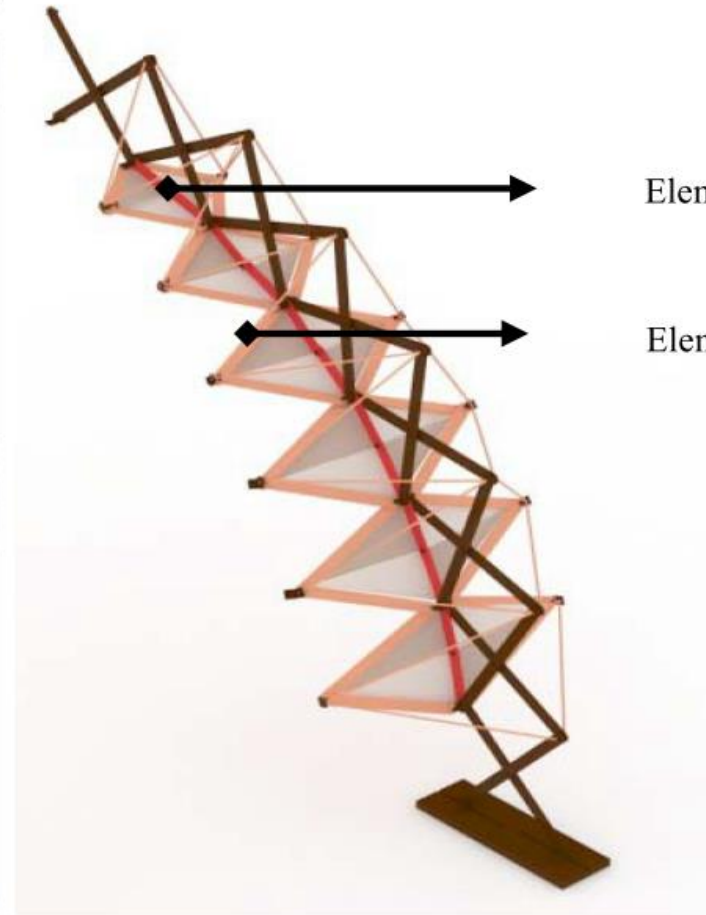
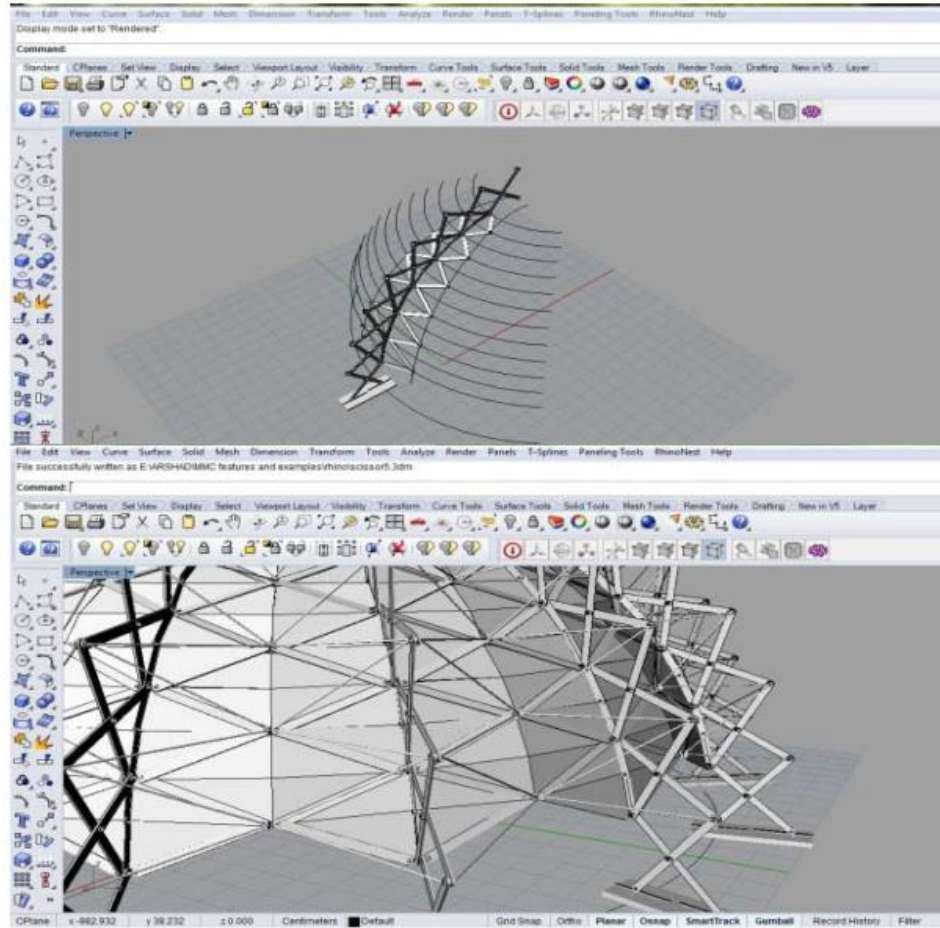


(c)



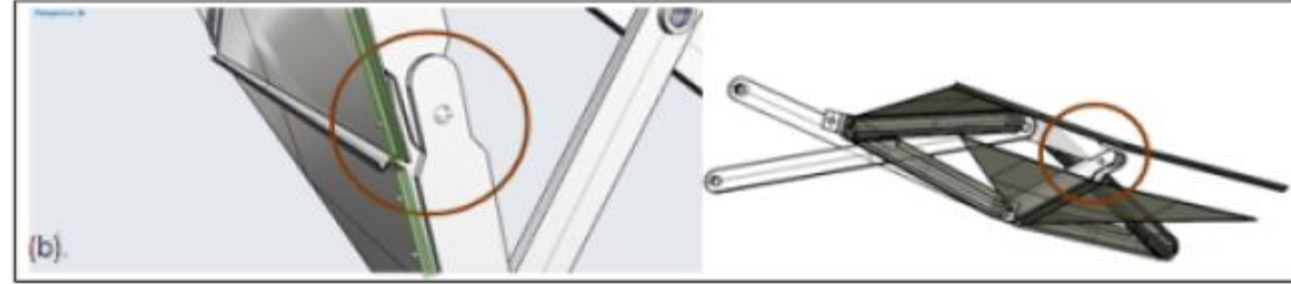
and structural stability (Fig 9).

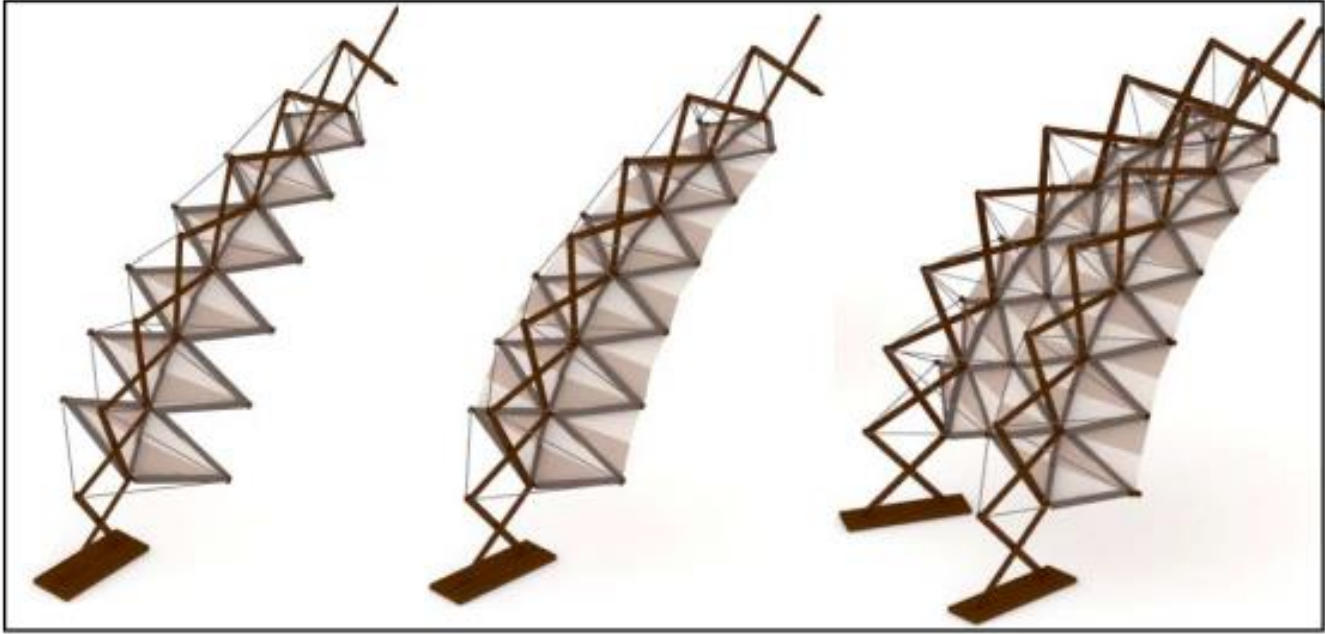
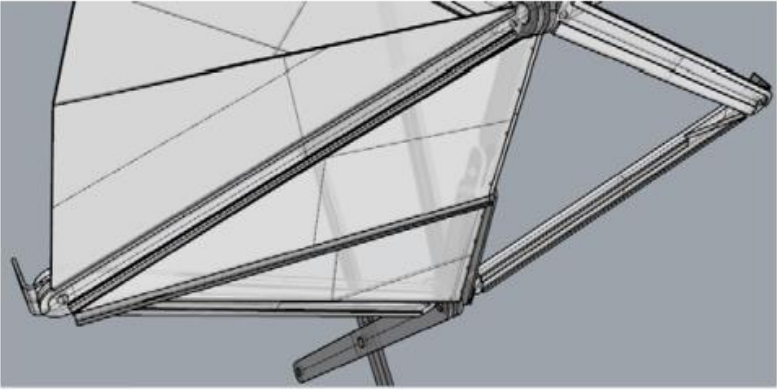
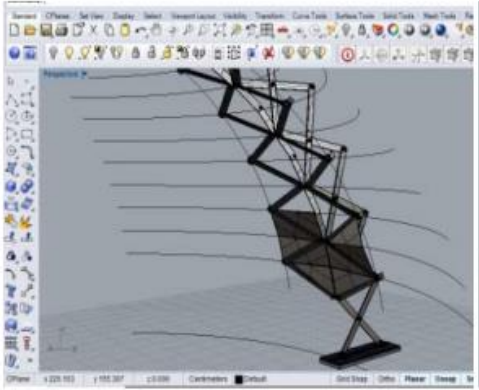




Elements type-B

Elements type-A

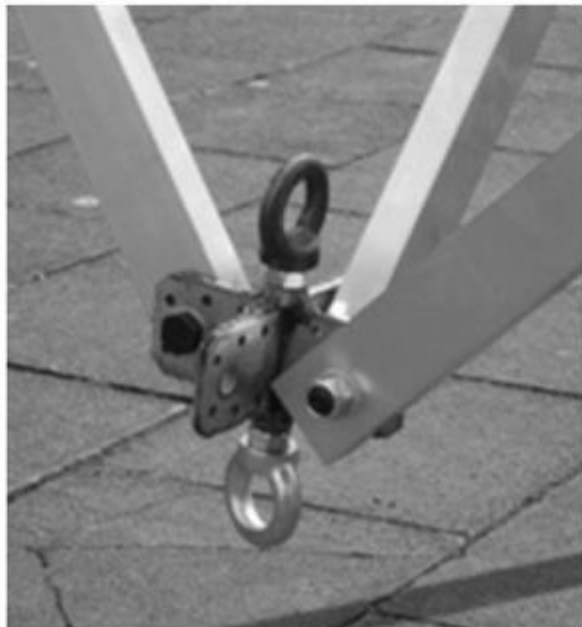




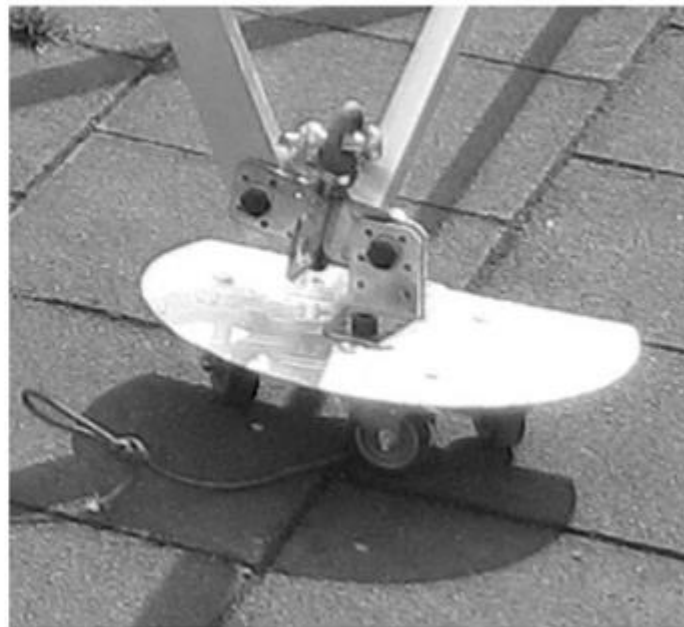
(a)

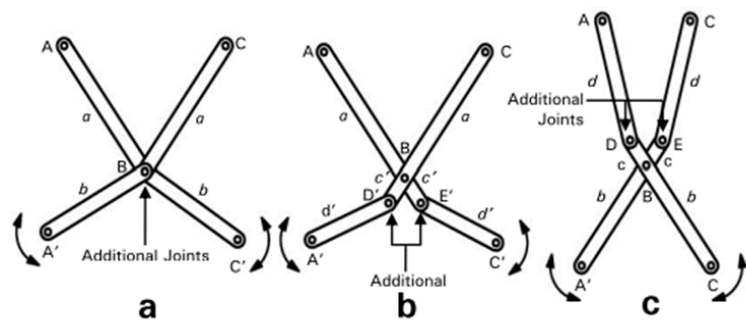
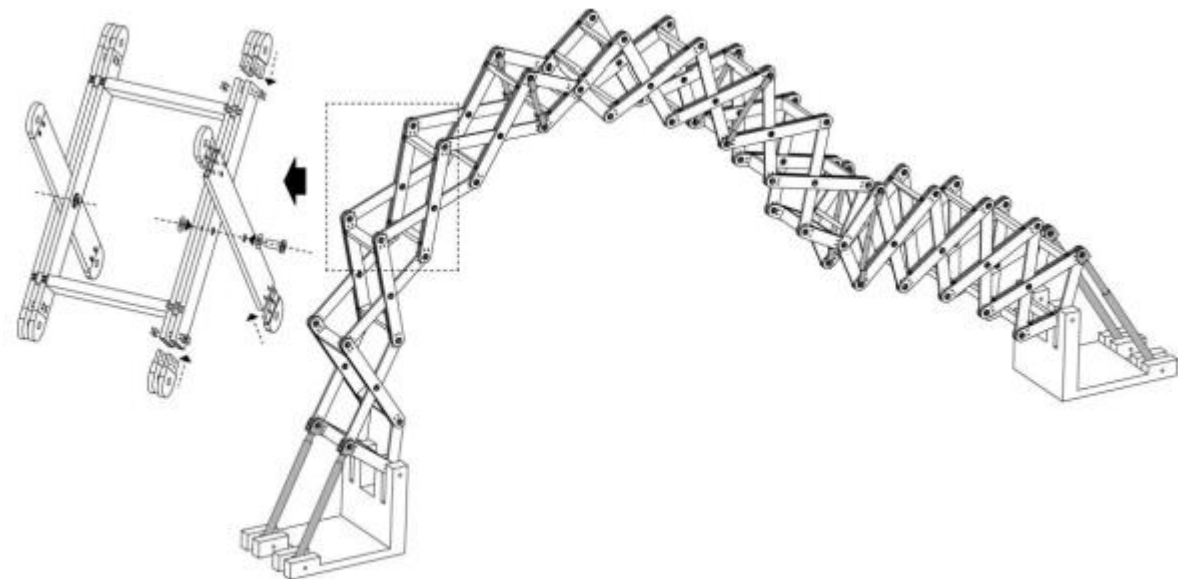
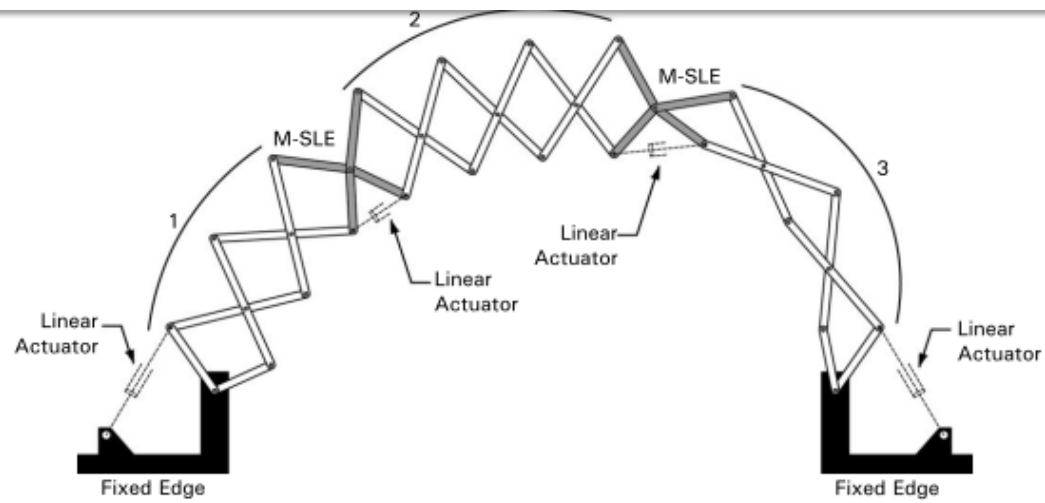


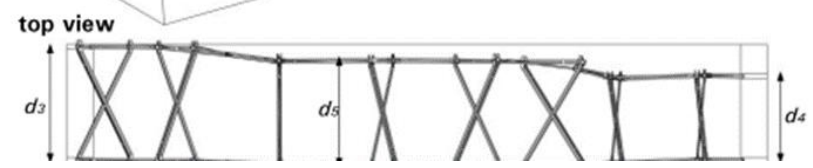
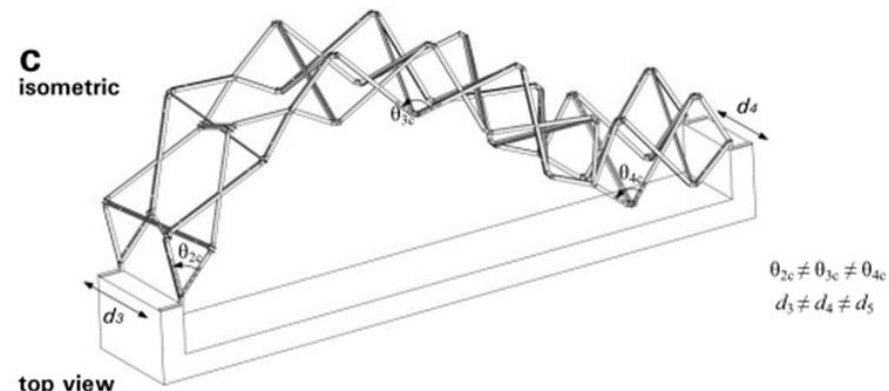
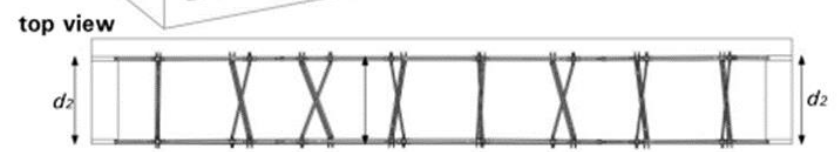
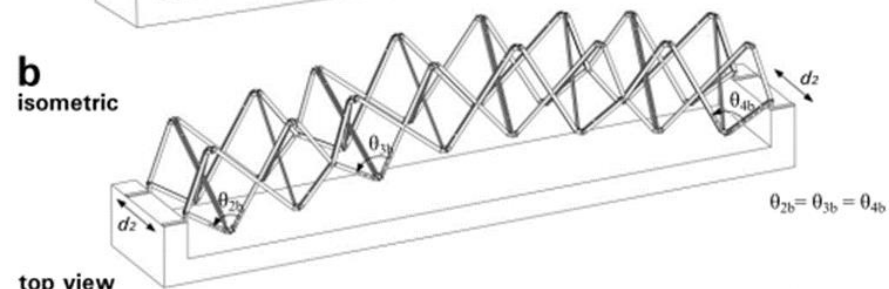
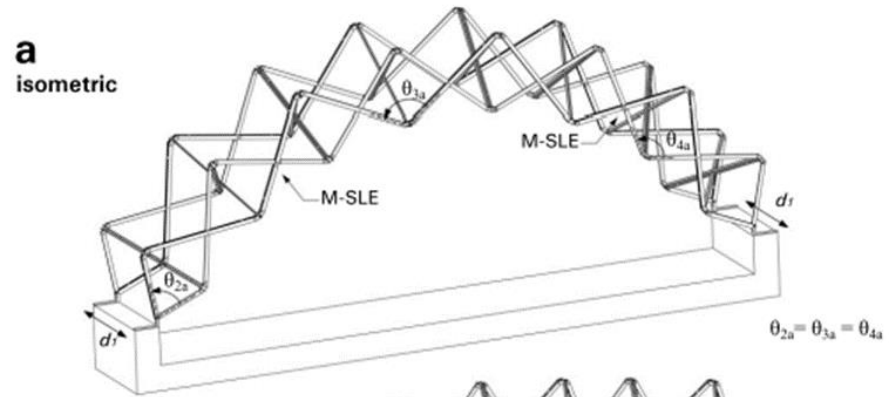
(b)

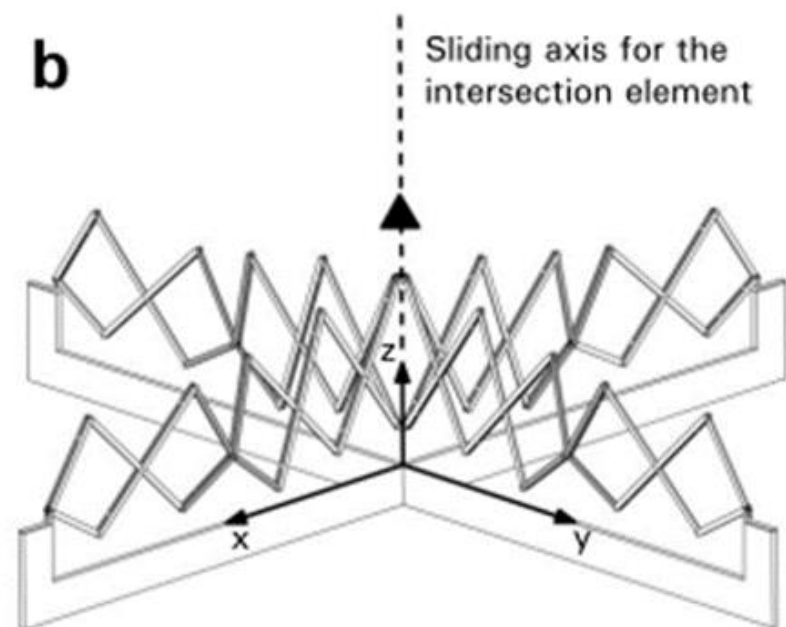
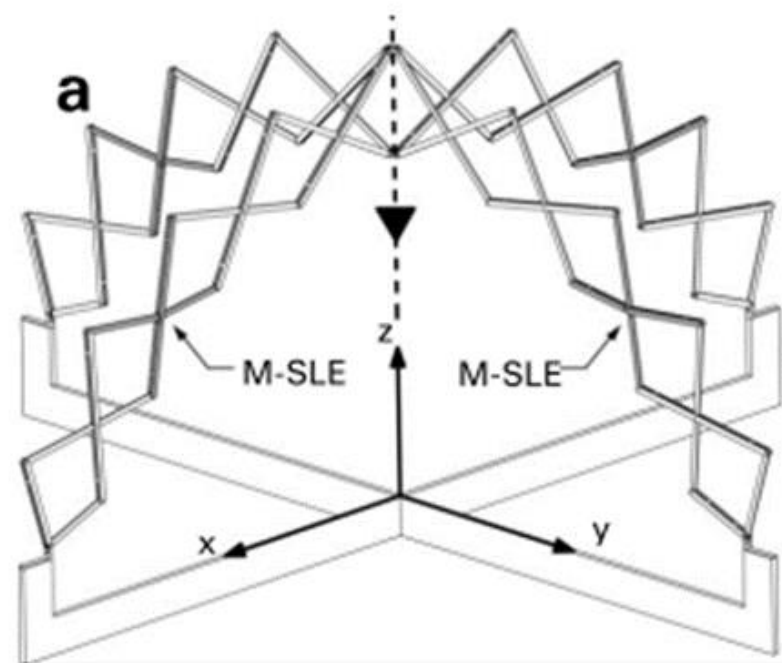


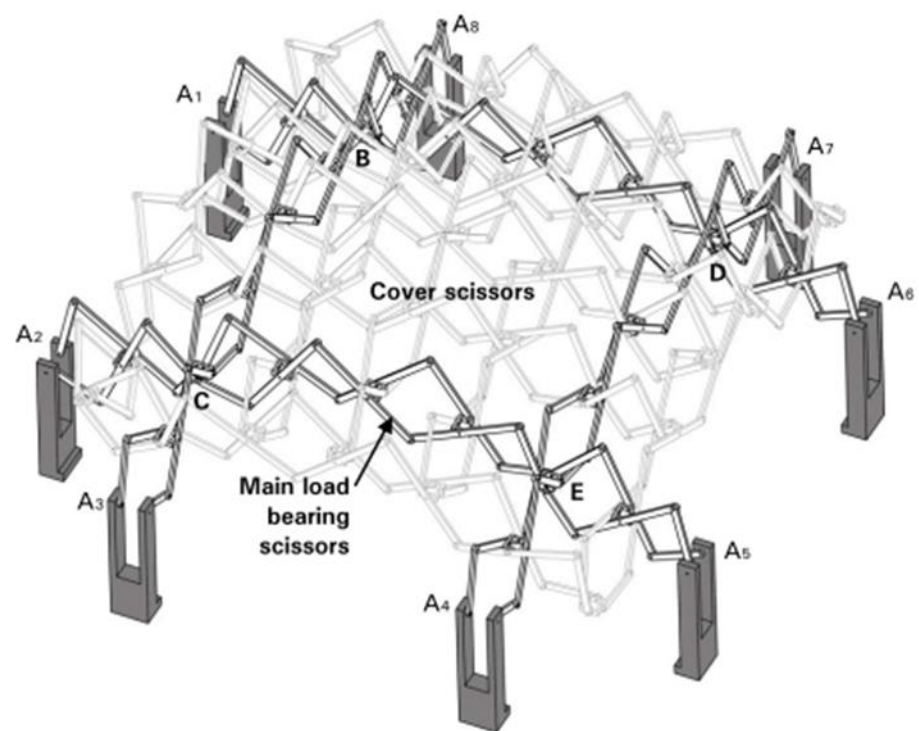
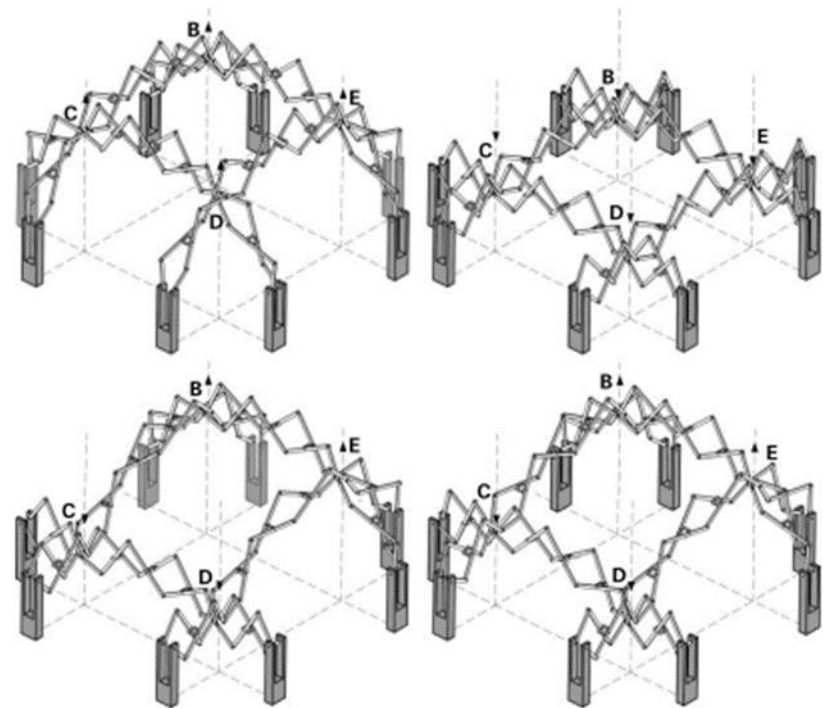
(c)

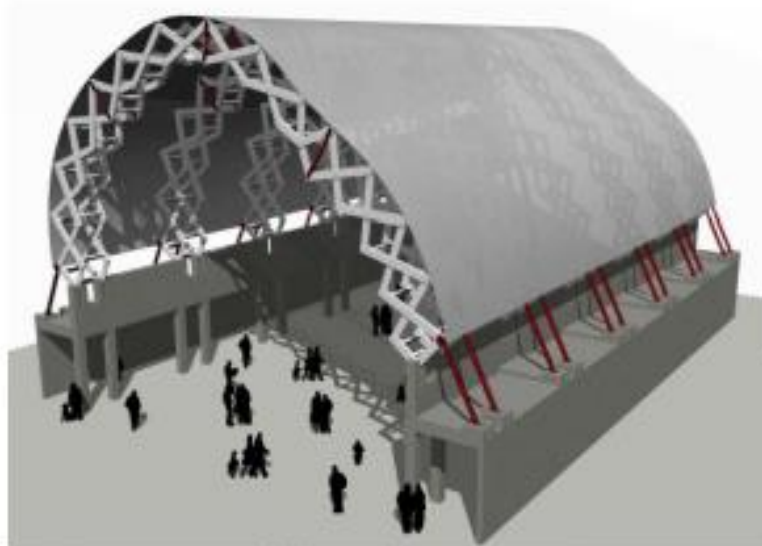




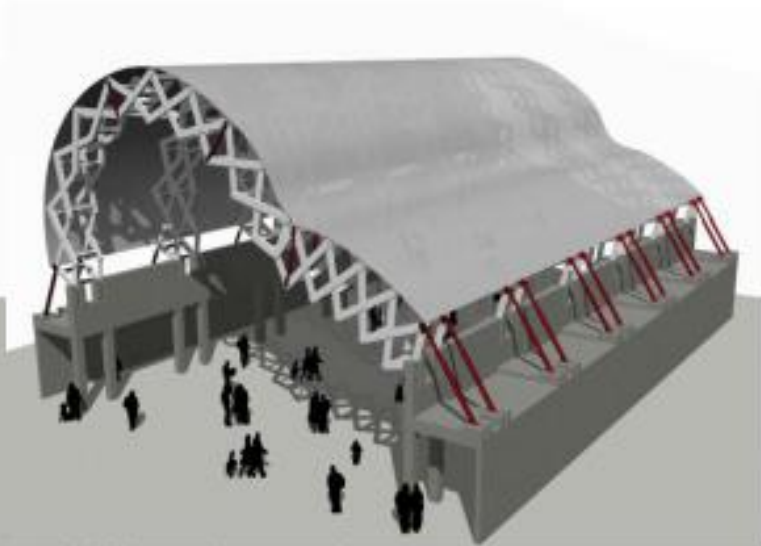




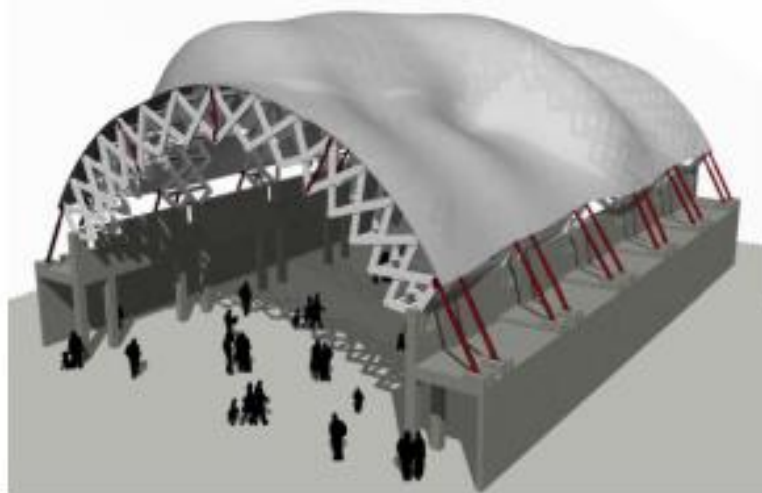




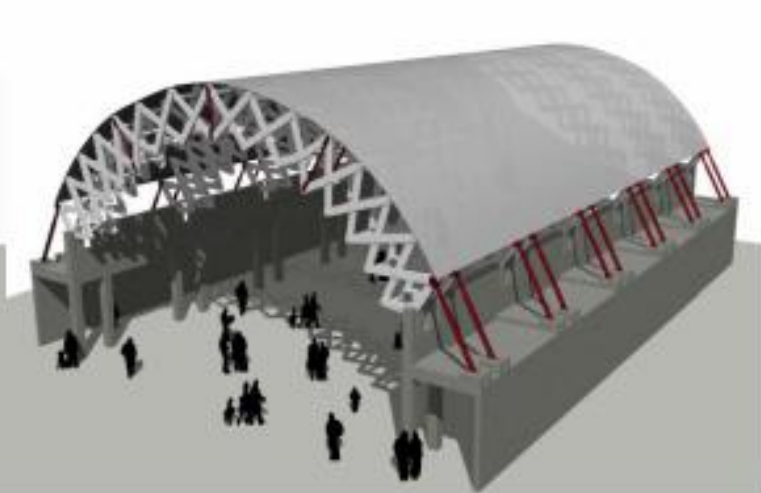
a. High arch



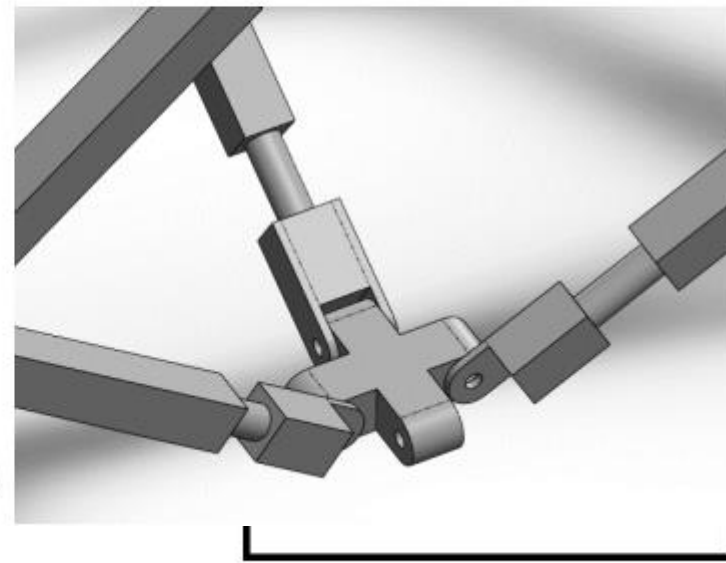
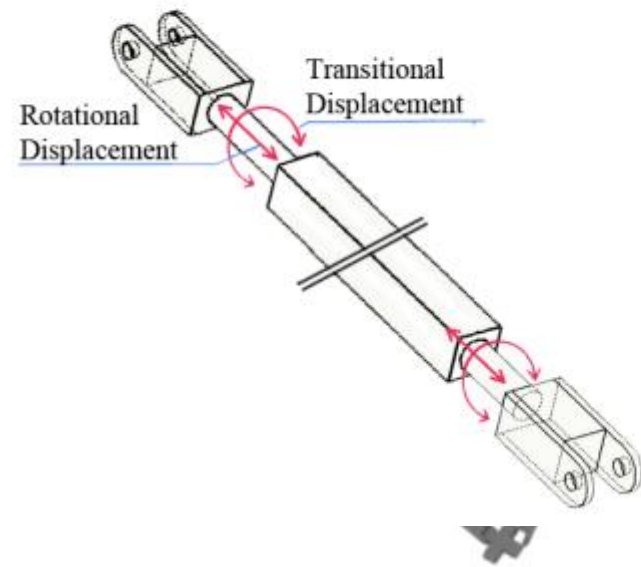
b. Wave-shape arch



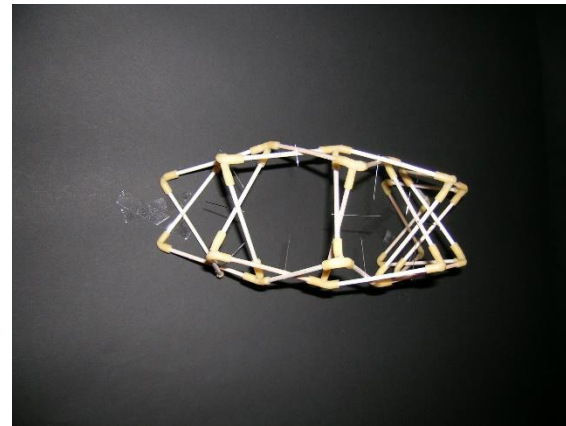
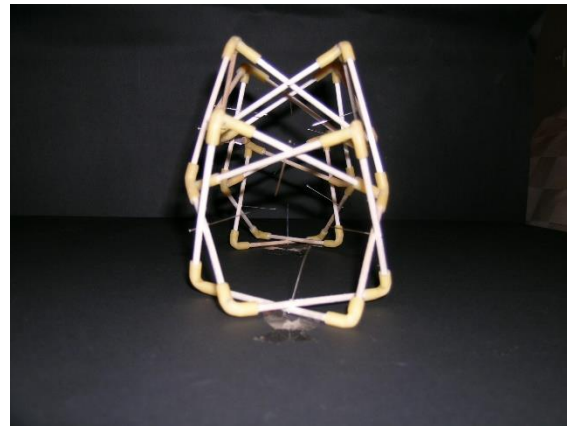
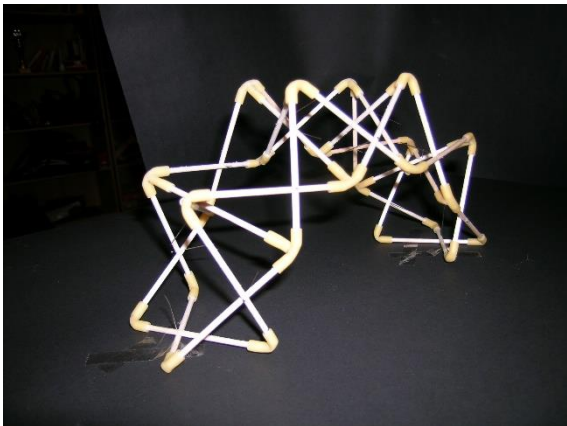
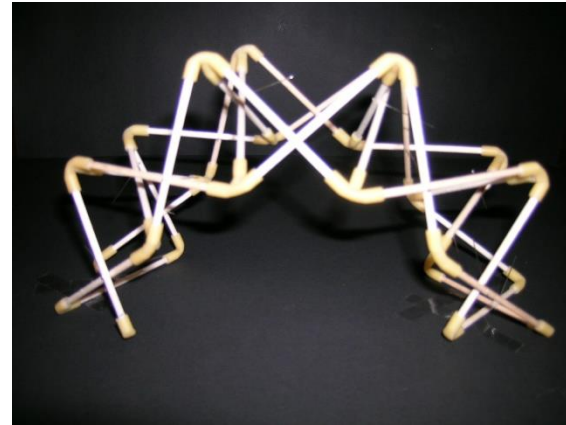
c. Various arches



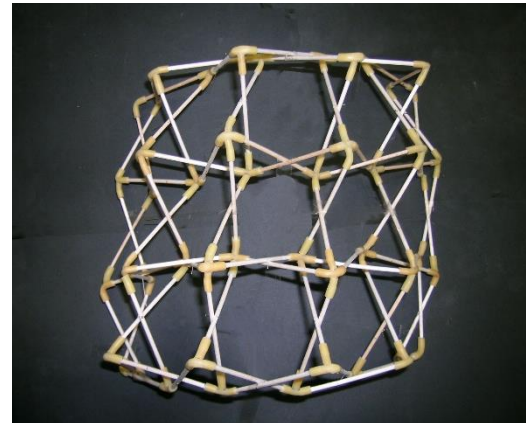
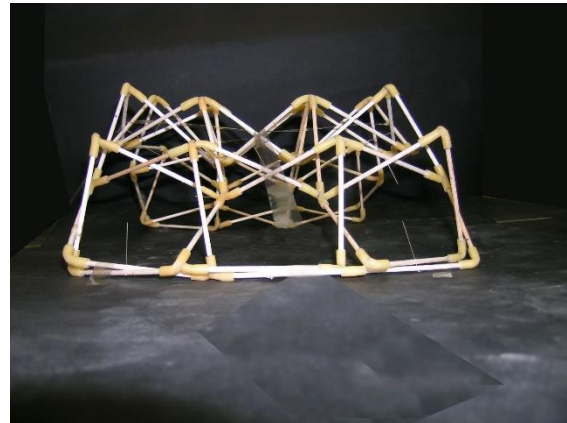
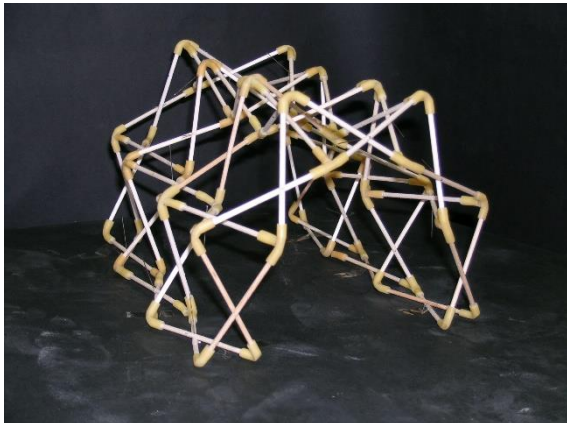
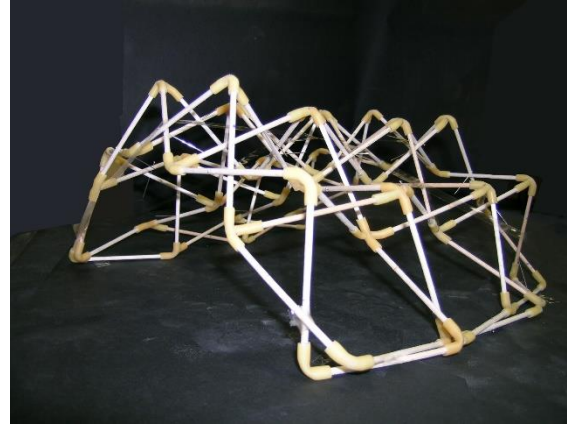
d. Shallow arch



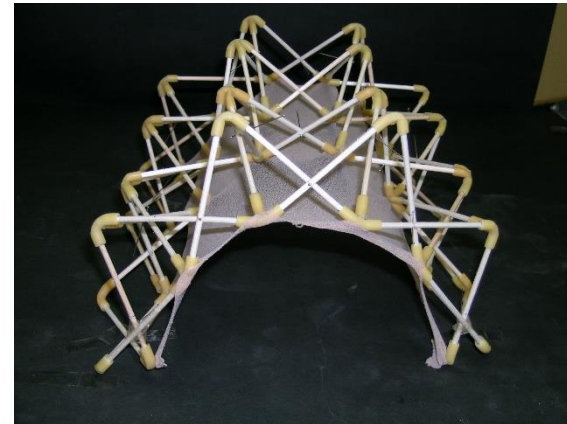
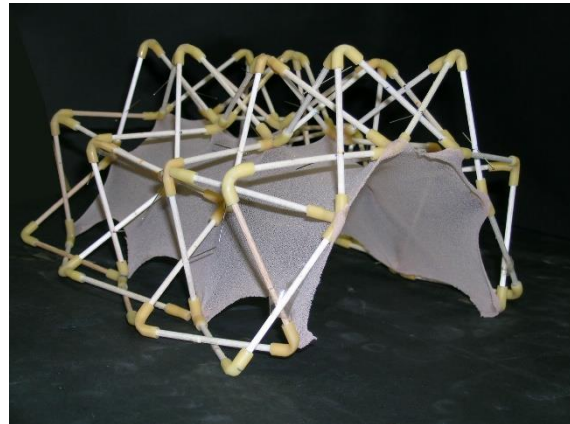
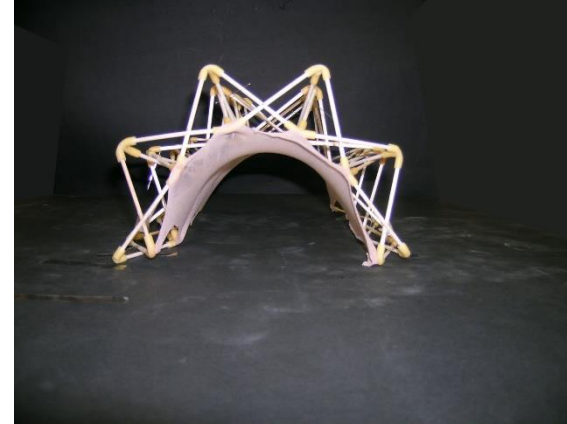
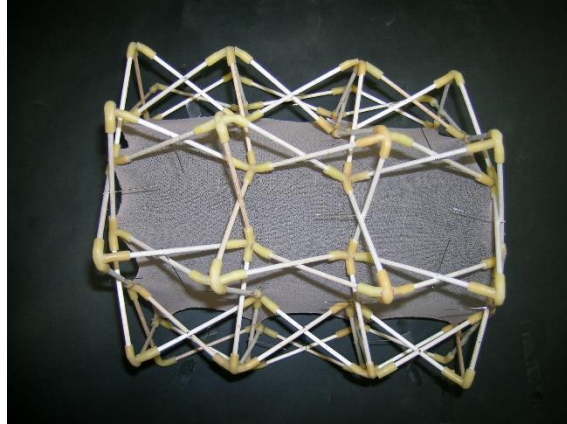
Πρώτο στάδιο – Δημιουργία δύο εκ των τεσσάρων μονάδων του μοντέλου



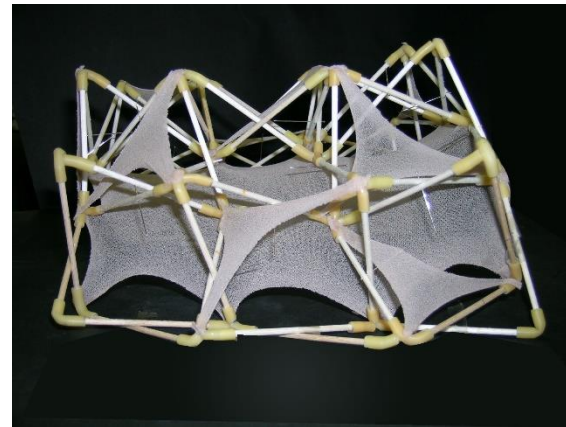
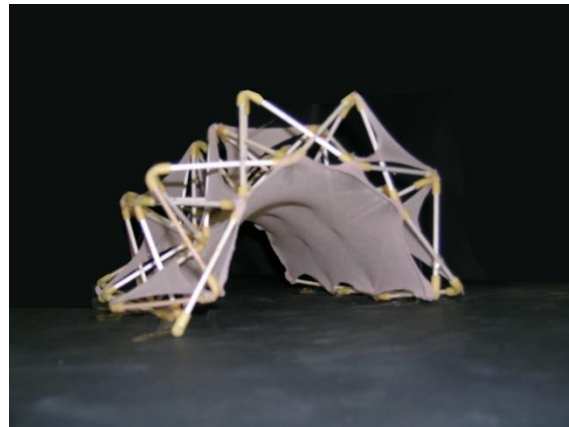
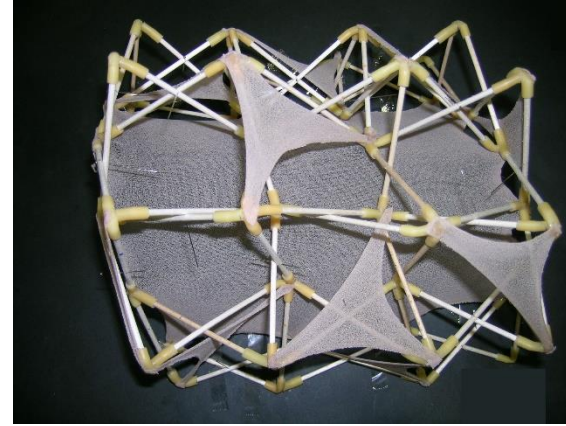
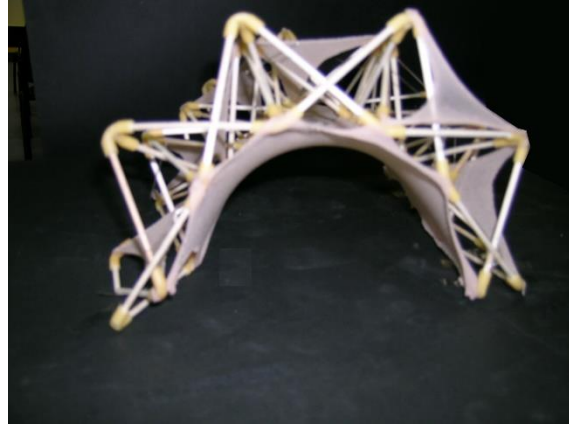
Δεύτερο στάδιο – Προσθήκη των υπόλοιπων δύο μονάδων στο μοντέλο



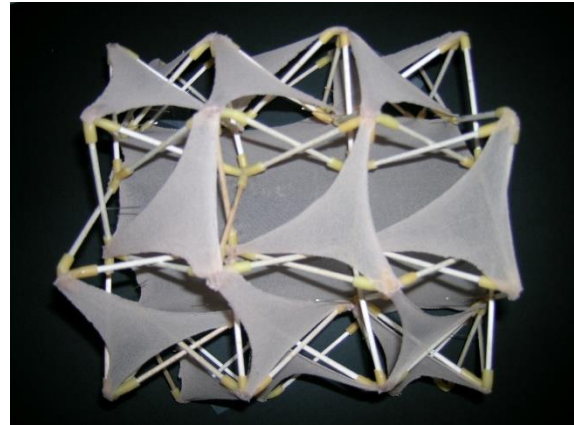
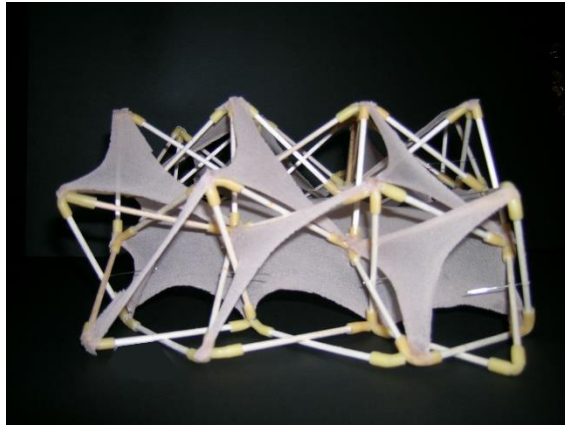
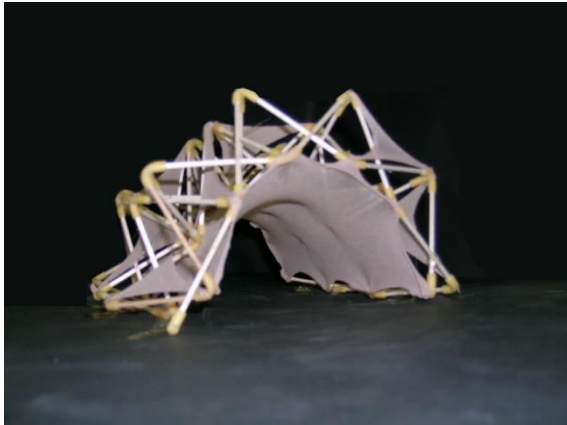
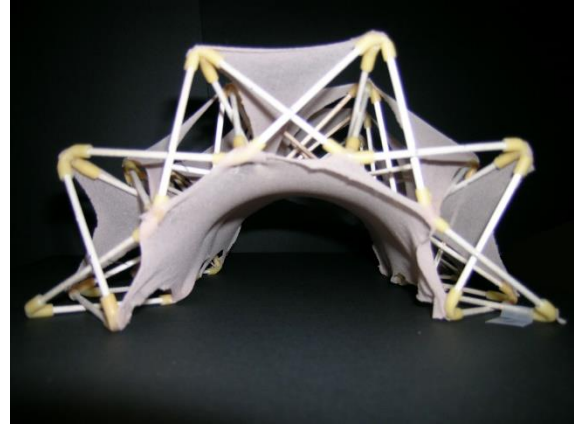
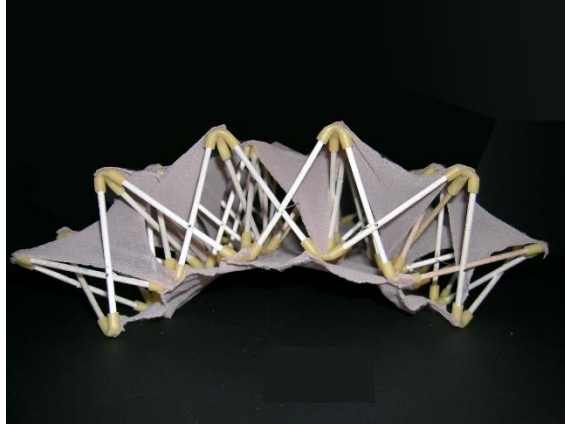
Τρίτο στάδιο – Εφαρμογή πανιού στο εσωτερικό που θα έχει τη χρήση στεγάστρου

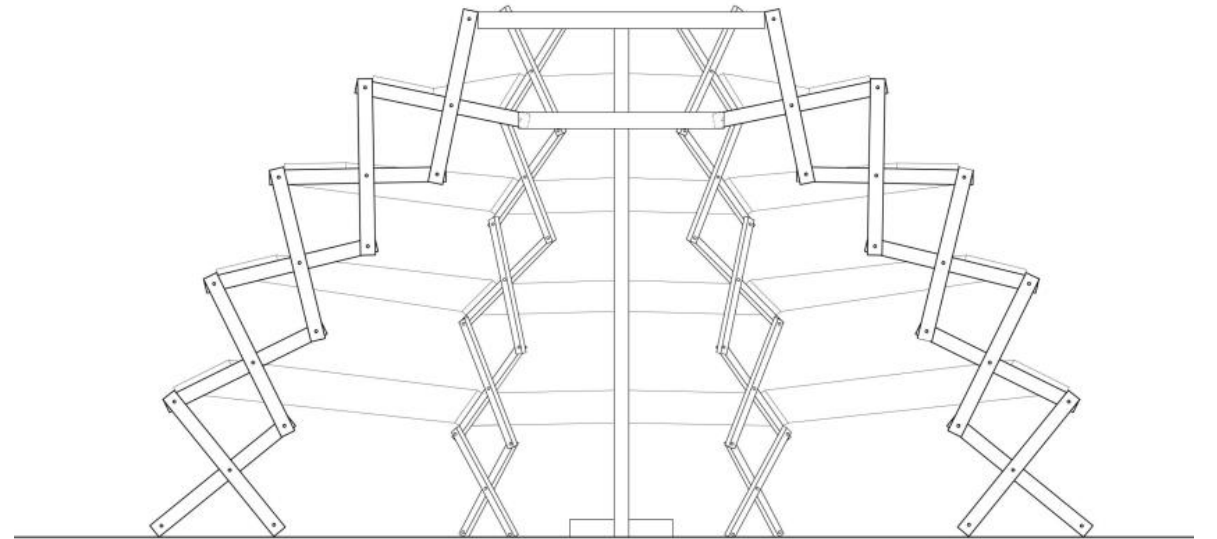
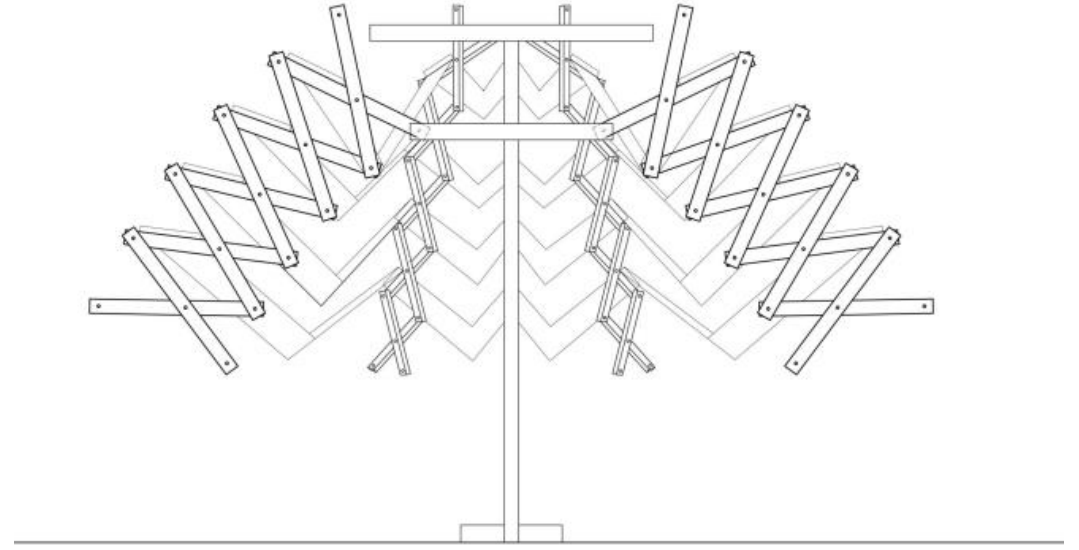
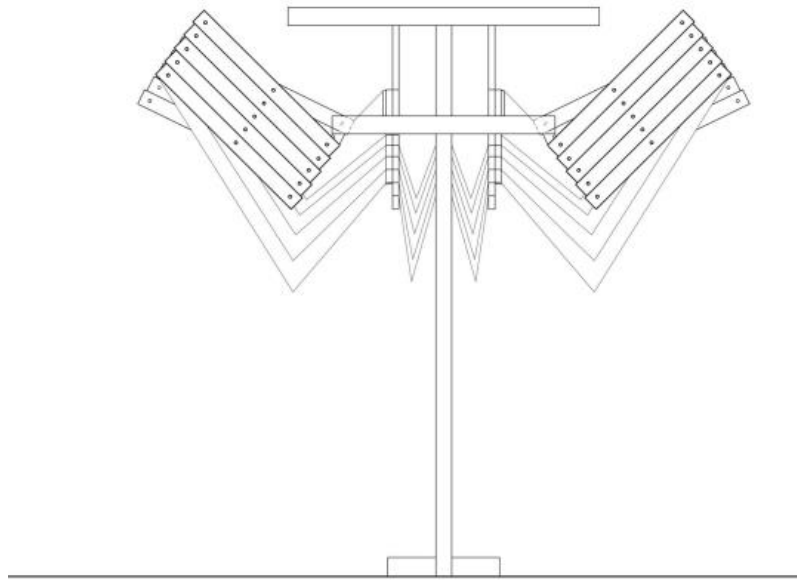


Τέταρτο στάδιο – Εισαγωγή πρόσθετων πανιών για επιπλέον σκίαση



Τελική μακέτα



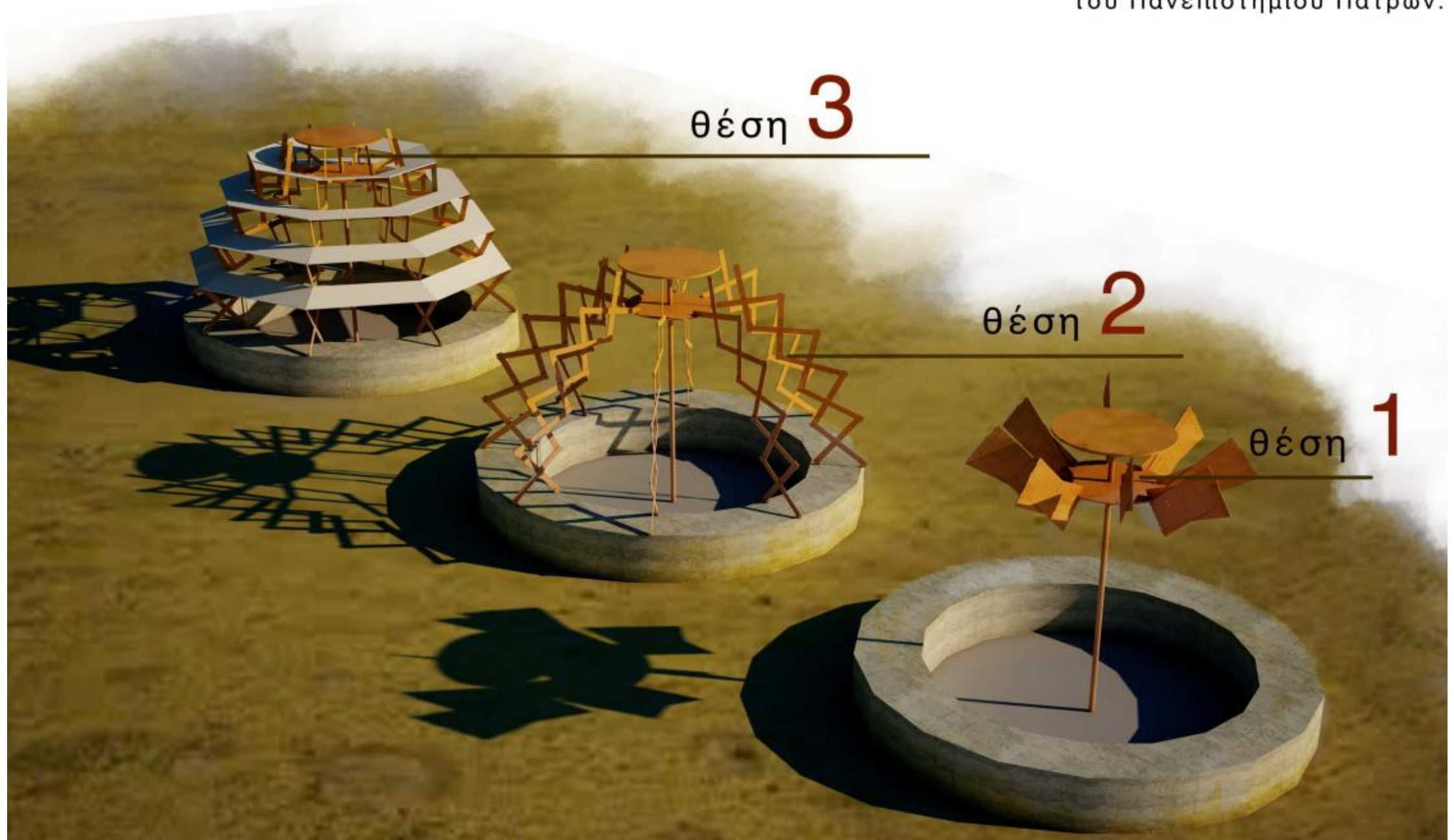


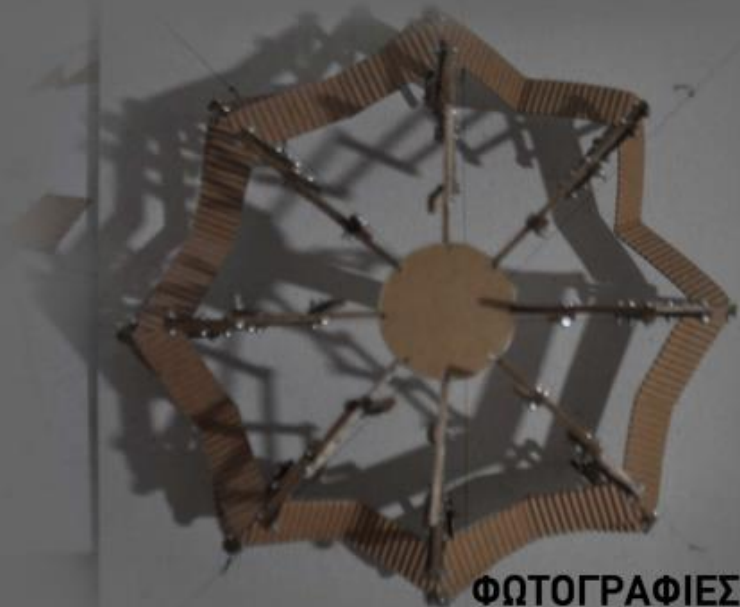
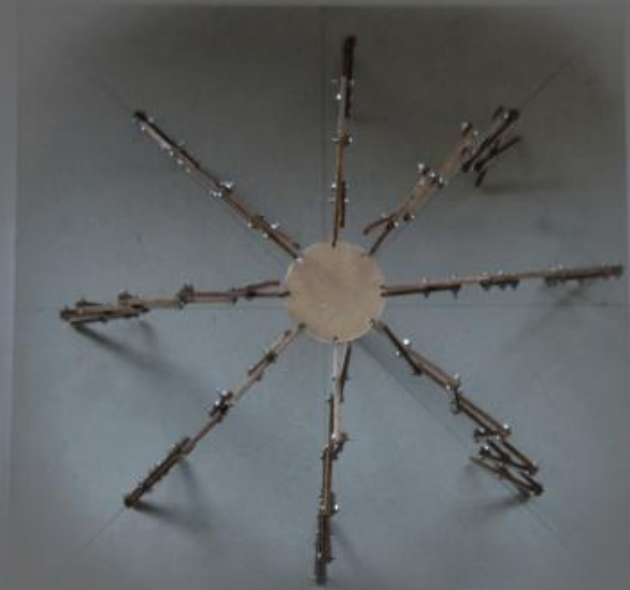
κατασκευή υπαίθριου σκιάστρου
στο χώρο του πάρκου ειρήνης
του Πανεπιστημίου Πατρών.

θέση **3**

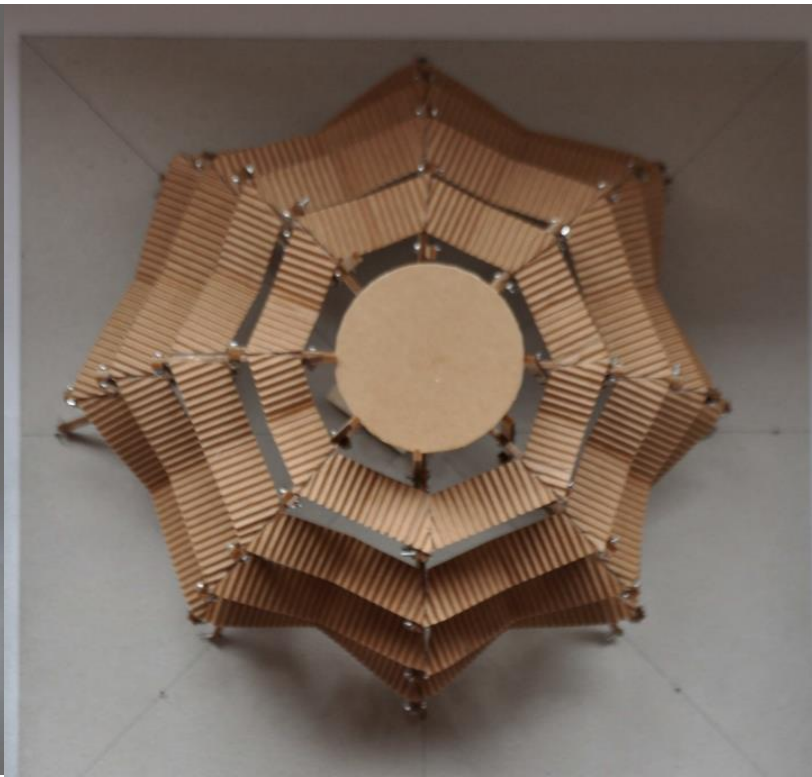
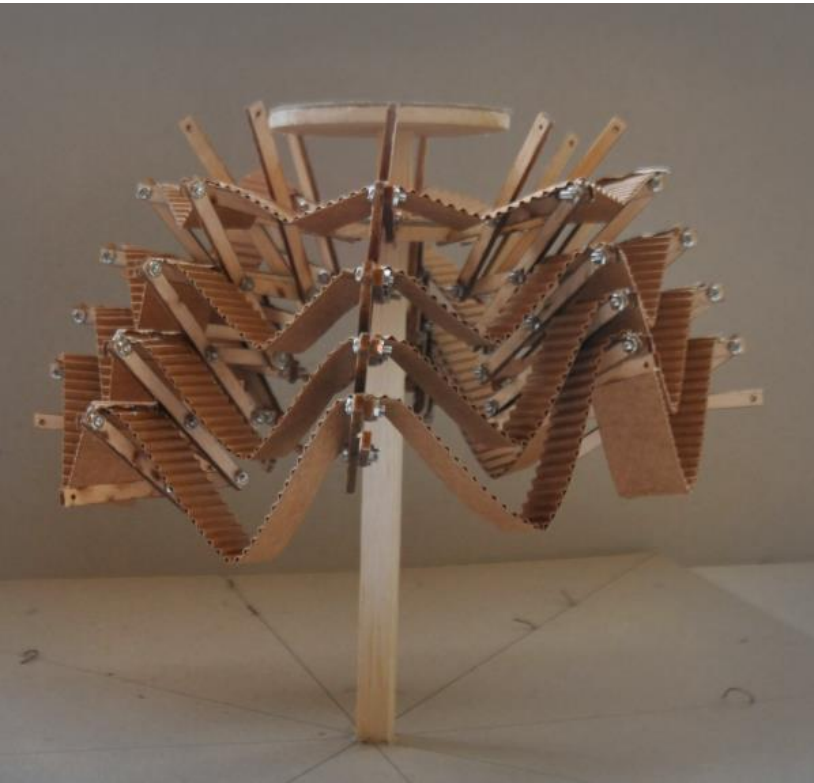
θέση **2**

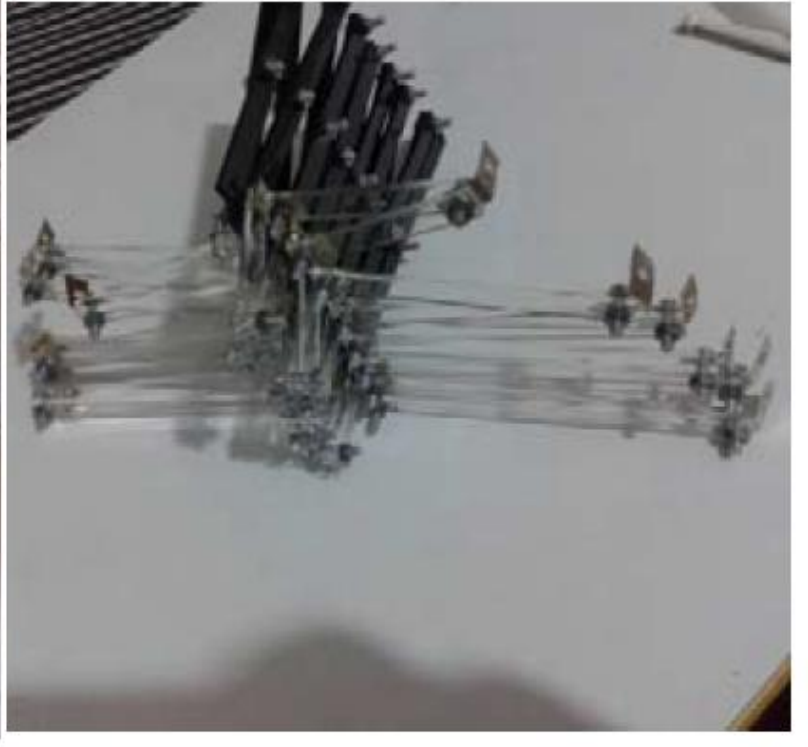
θέση **1**

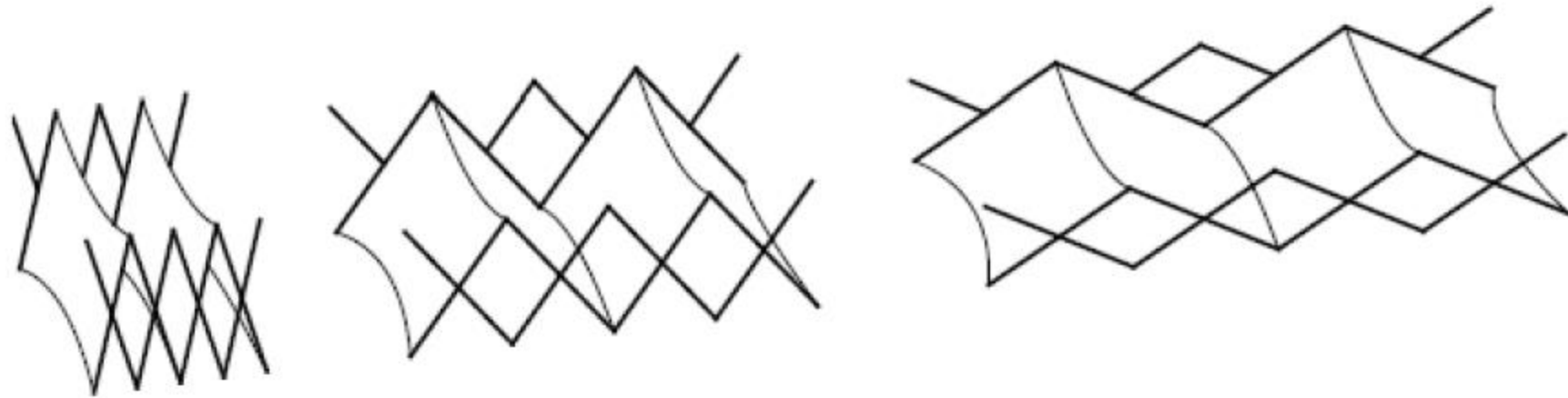


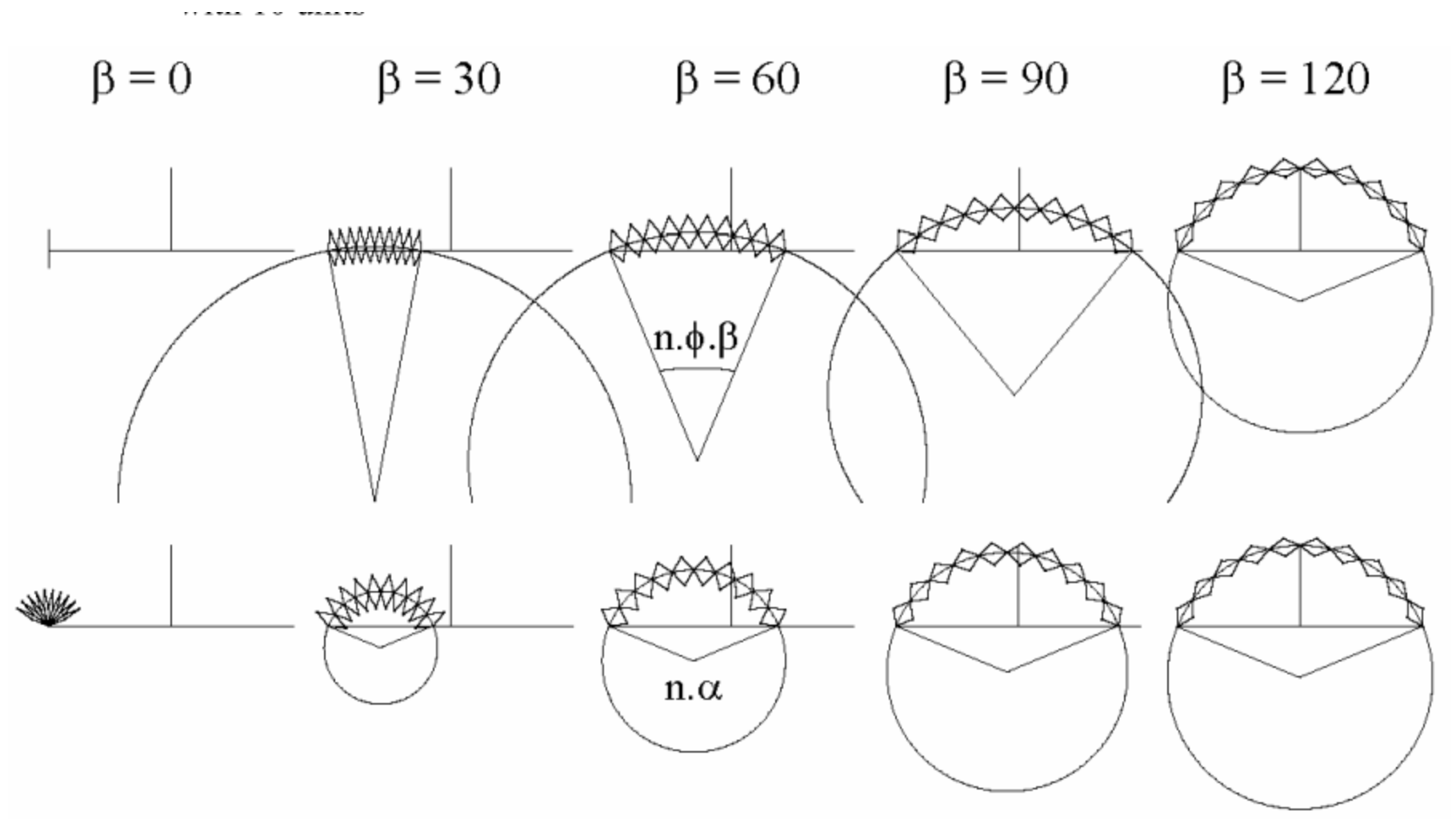


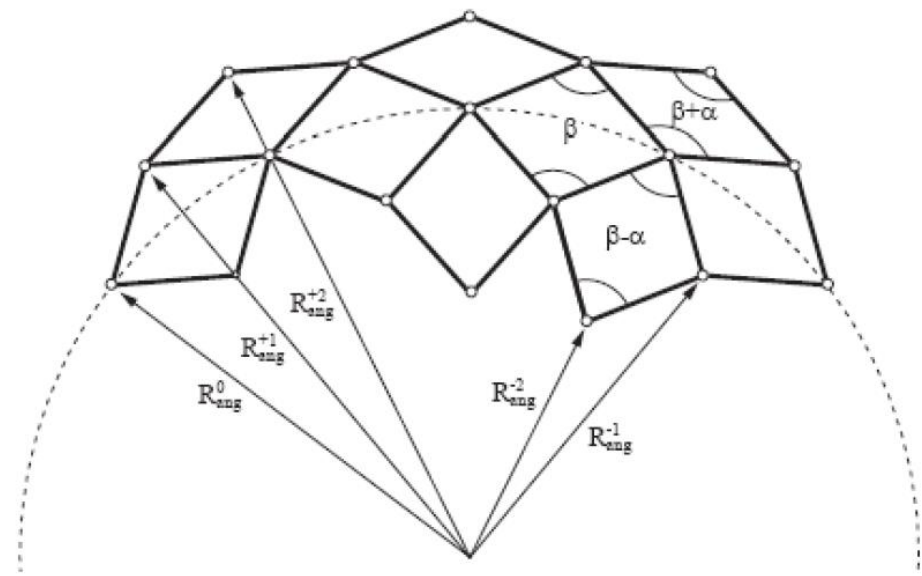
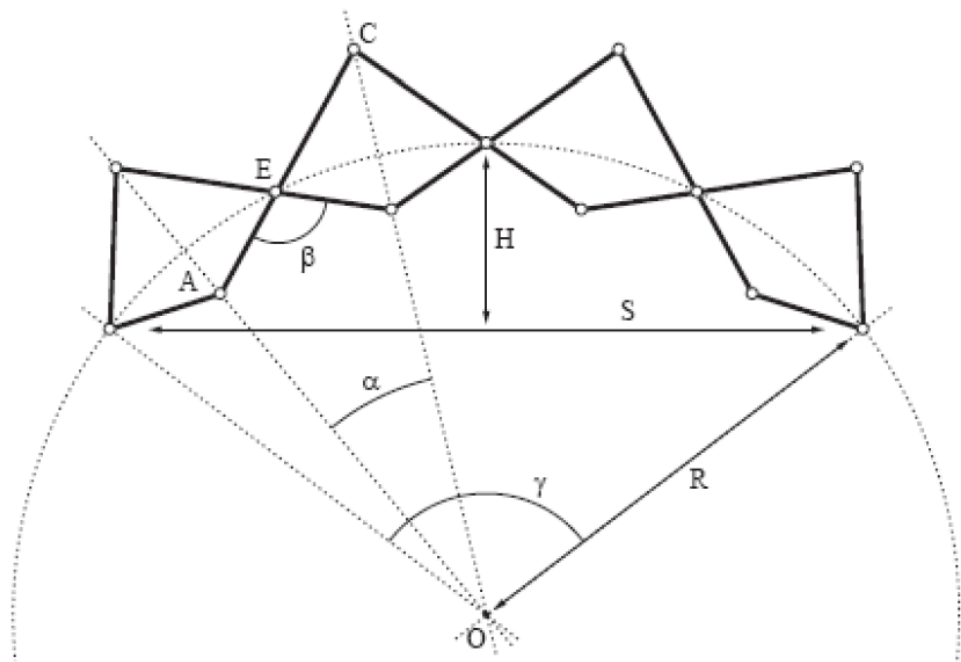
ΦΩΤΟΓΡΑΦΙΕΣ ΜΑΚΕΤΑΣ

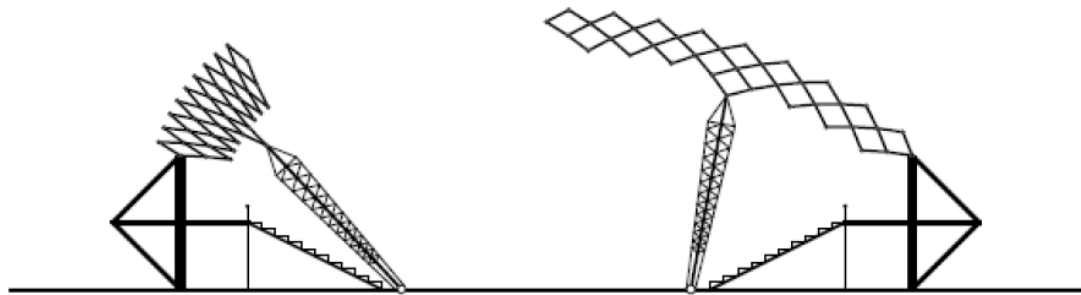
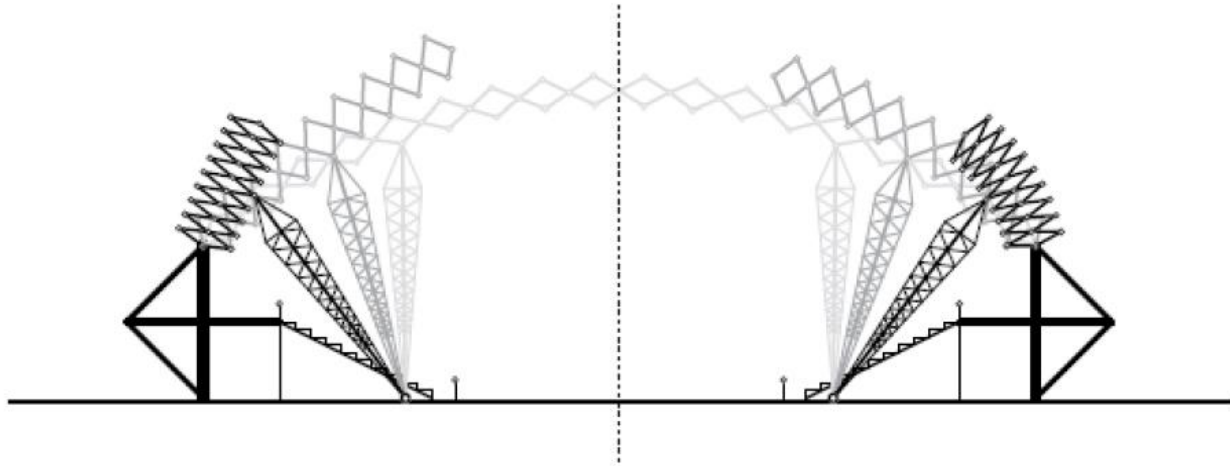
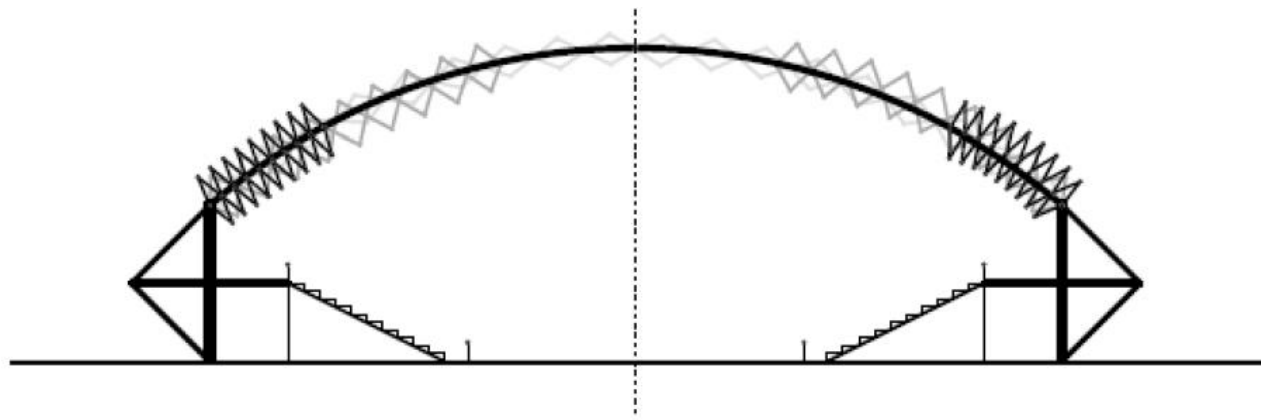


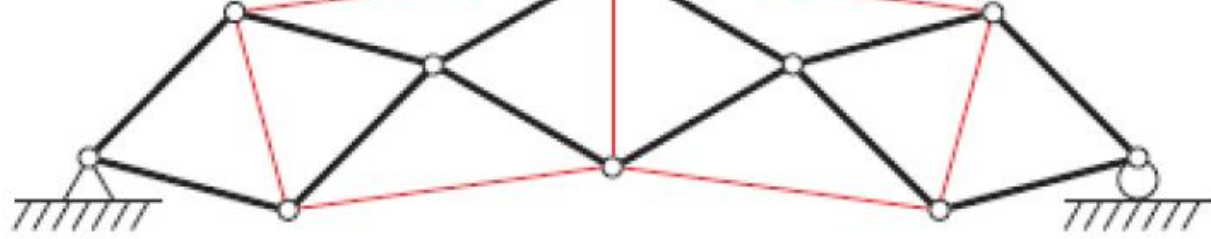




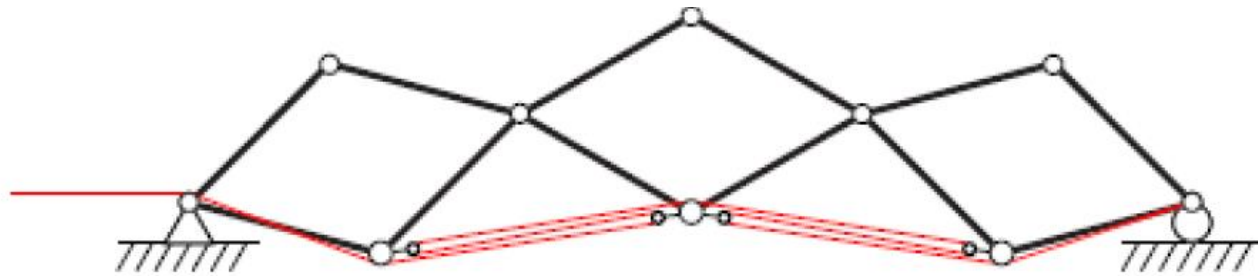
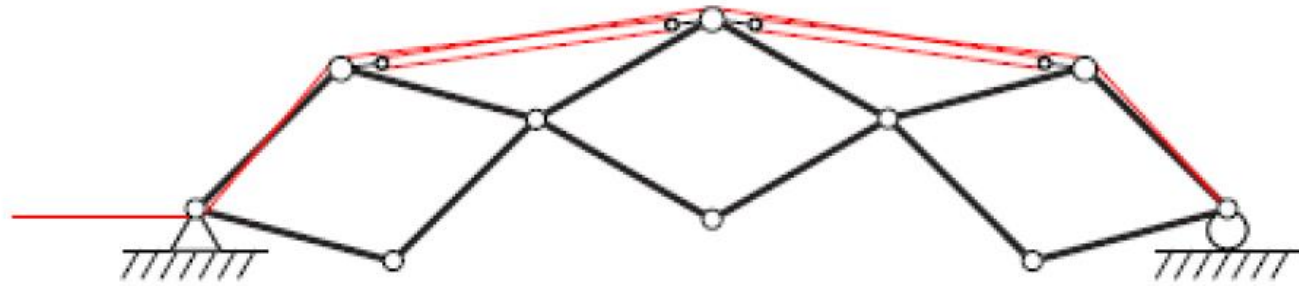
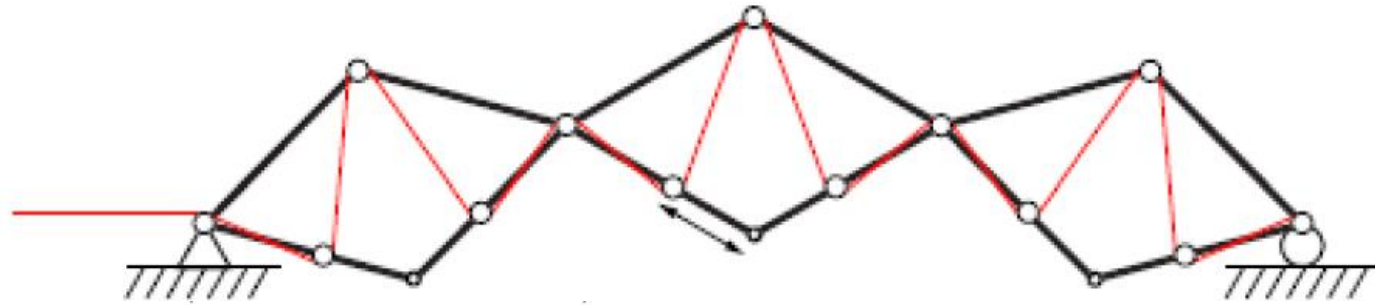




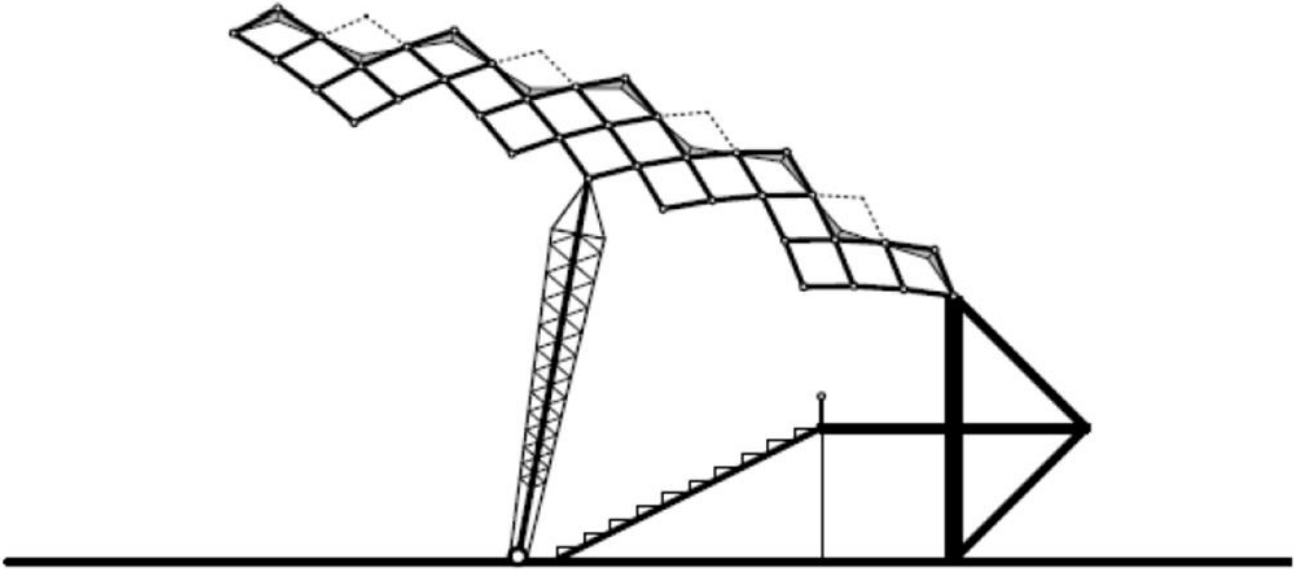
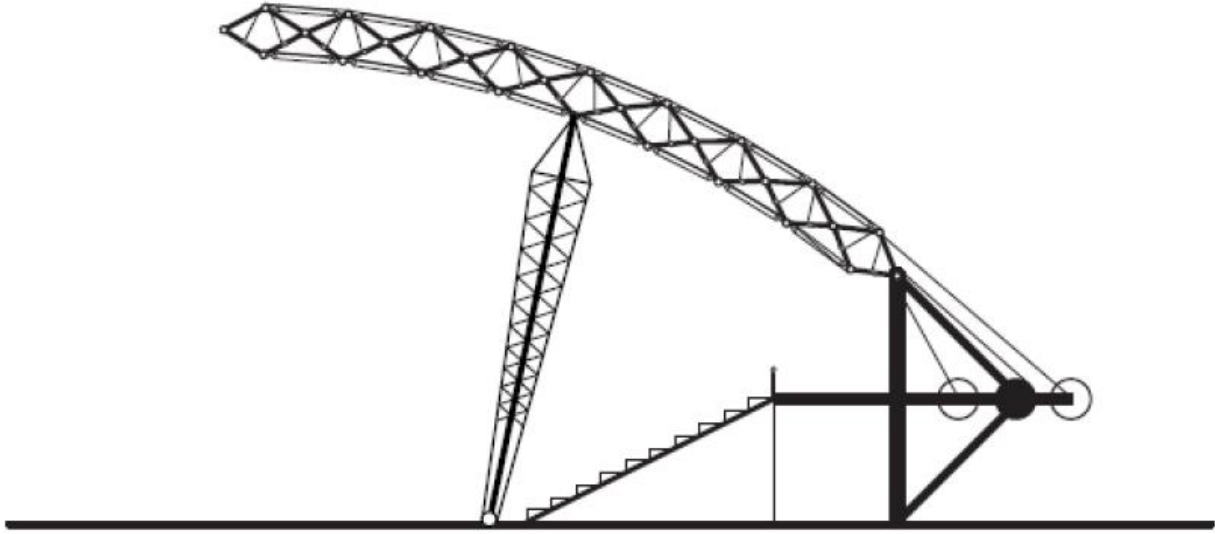




(SEE OTHER VERSION FOR COLORS)



Note: If the cable is rolled onto a spool, the mechanism folds.



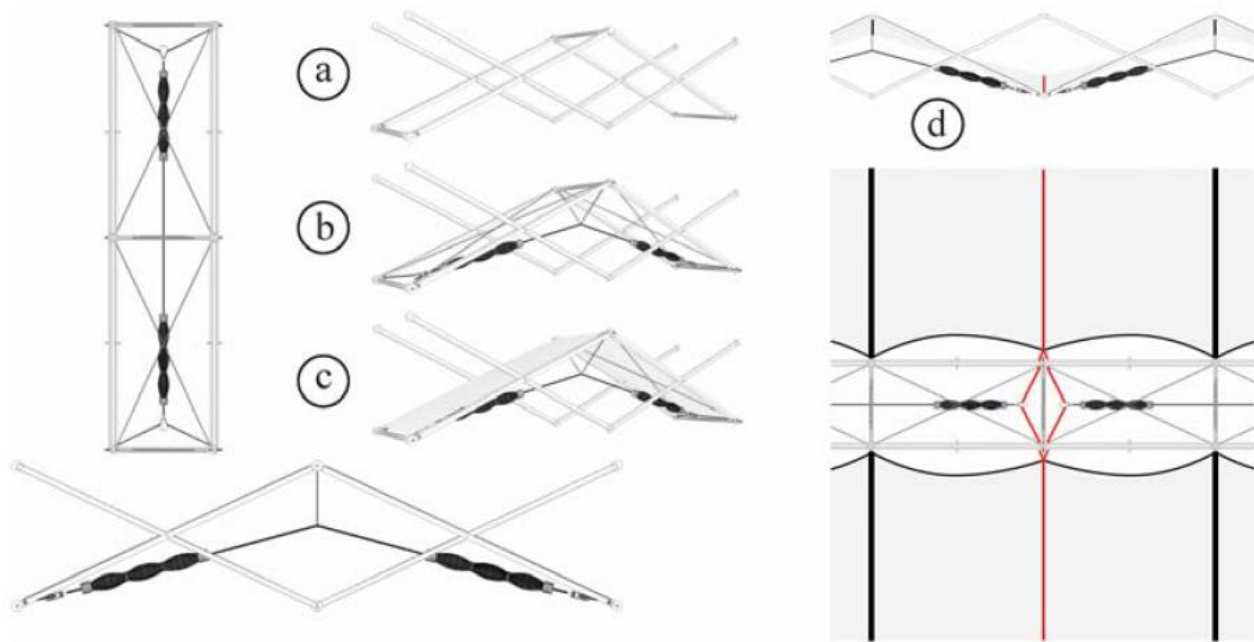
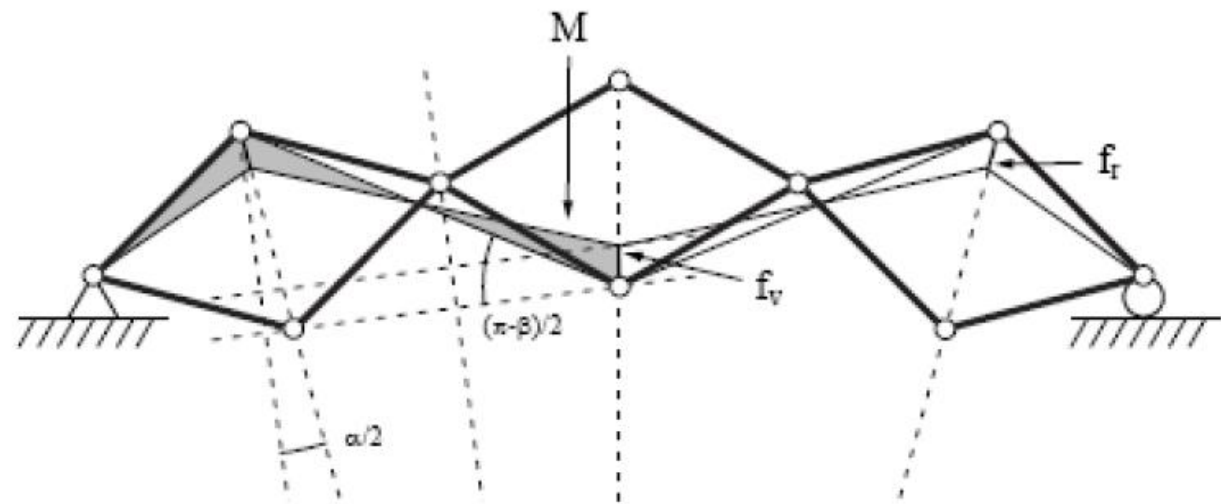




Figure 3. External supporting shelter



Figure 4. Internal supporting shelter



Figure 5. Alternate external supporting shelter

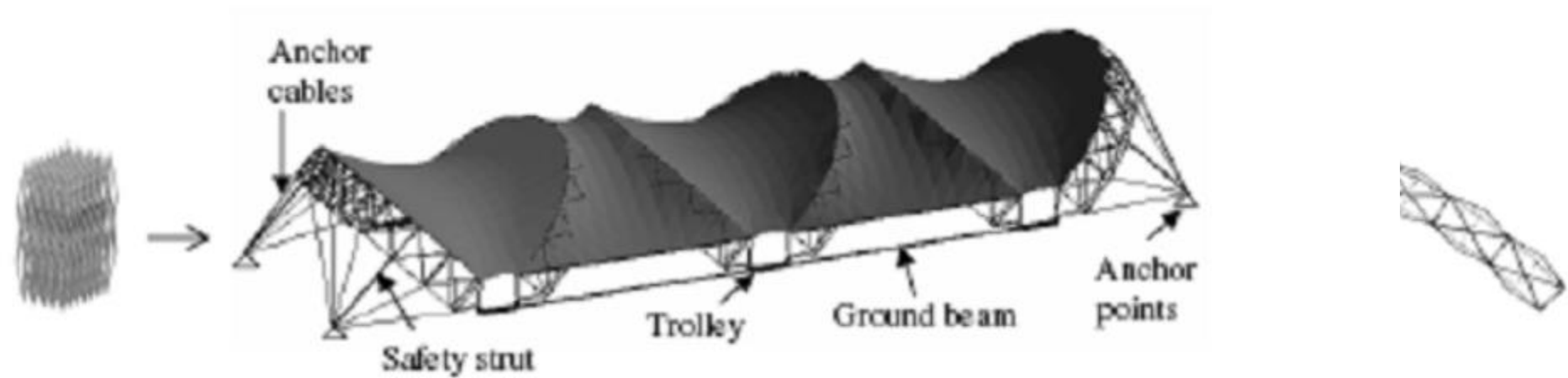


Figure 6. Deployable shelter using inclined arches



(a) Arches are installed upright



(b) Arches are slid along ground beam



(c) Membrane is stretched to final configuration

Figure 7. Deployment process of the deployable shelter



